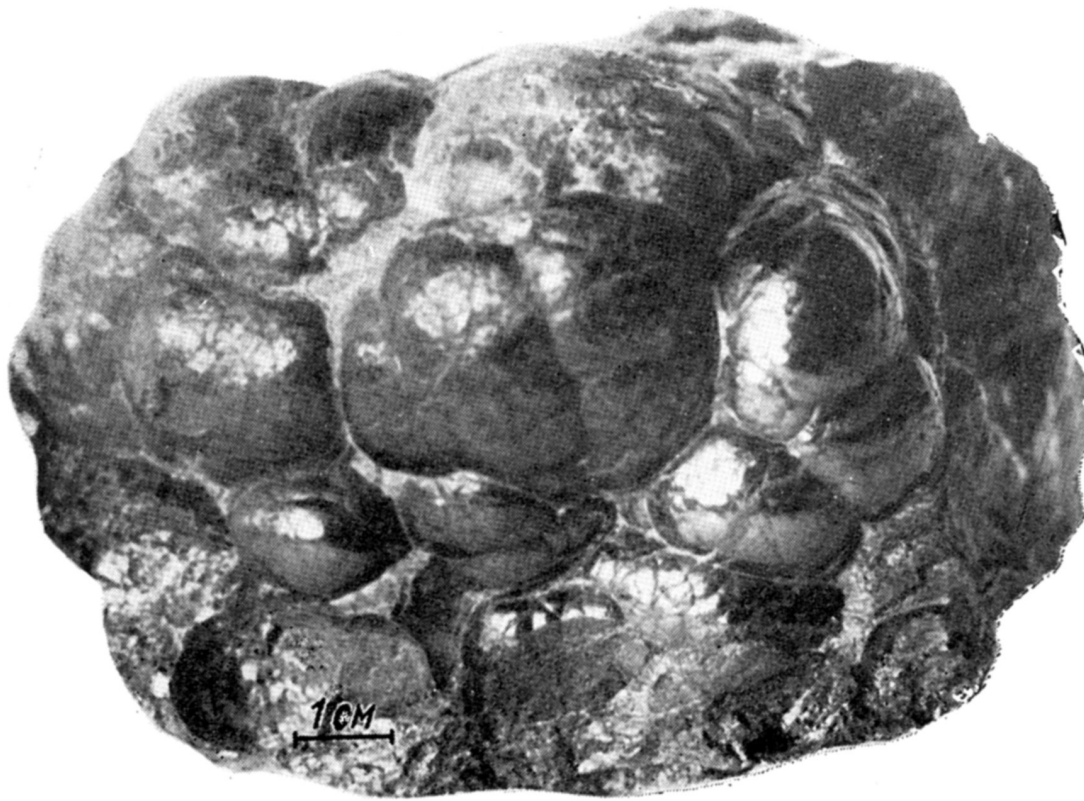


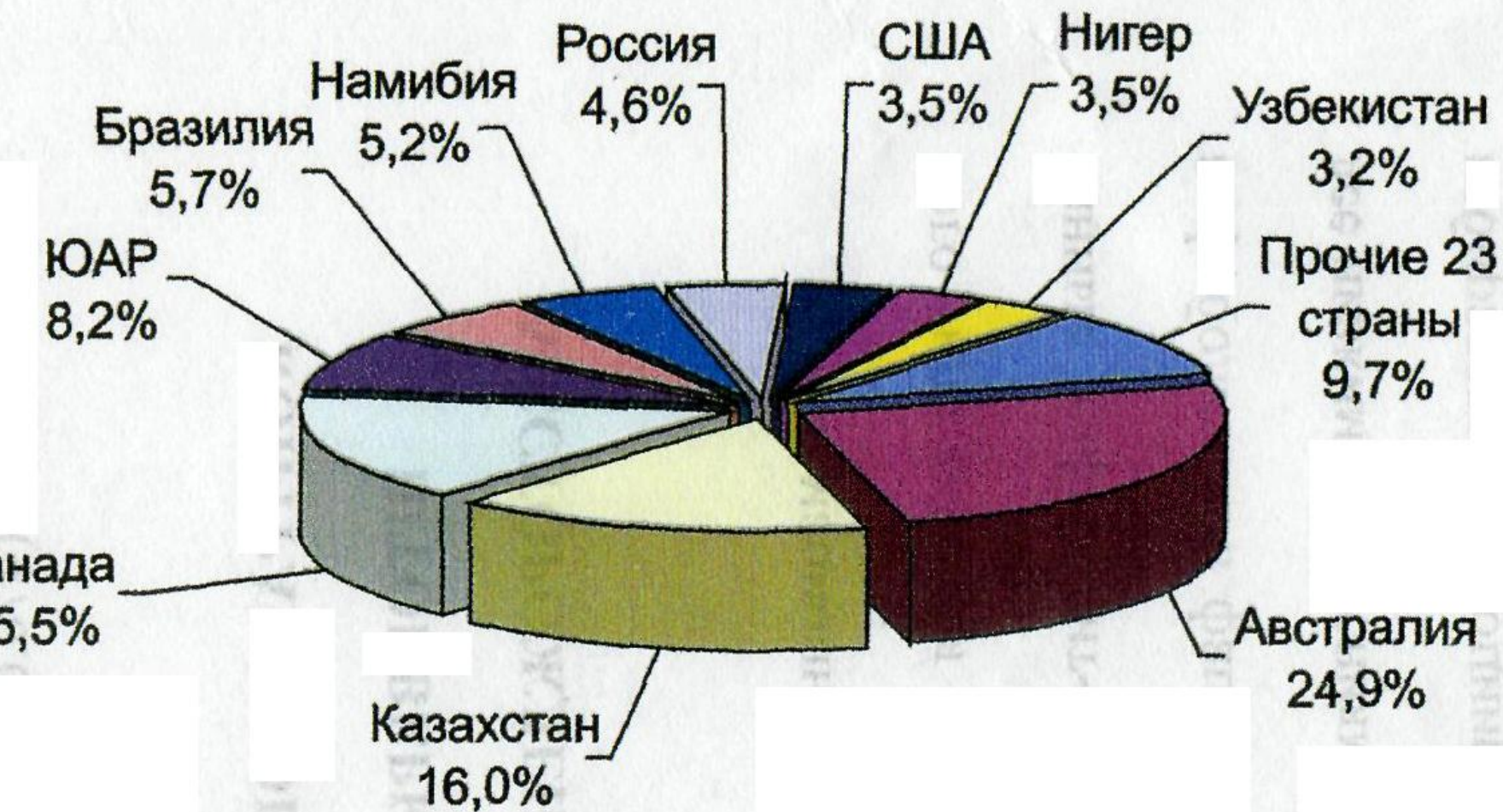
Минерально-сырьевой комплекс России – уран



Почковидный агрегат настурана (урановой смоляной руды или урановой смолки) UO_x , где $x = 2,17-2,73$

Мир – 2 811,2 тыс. т

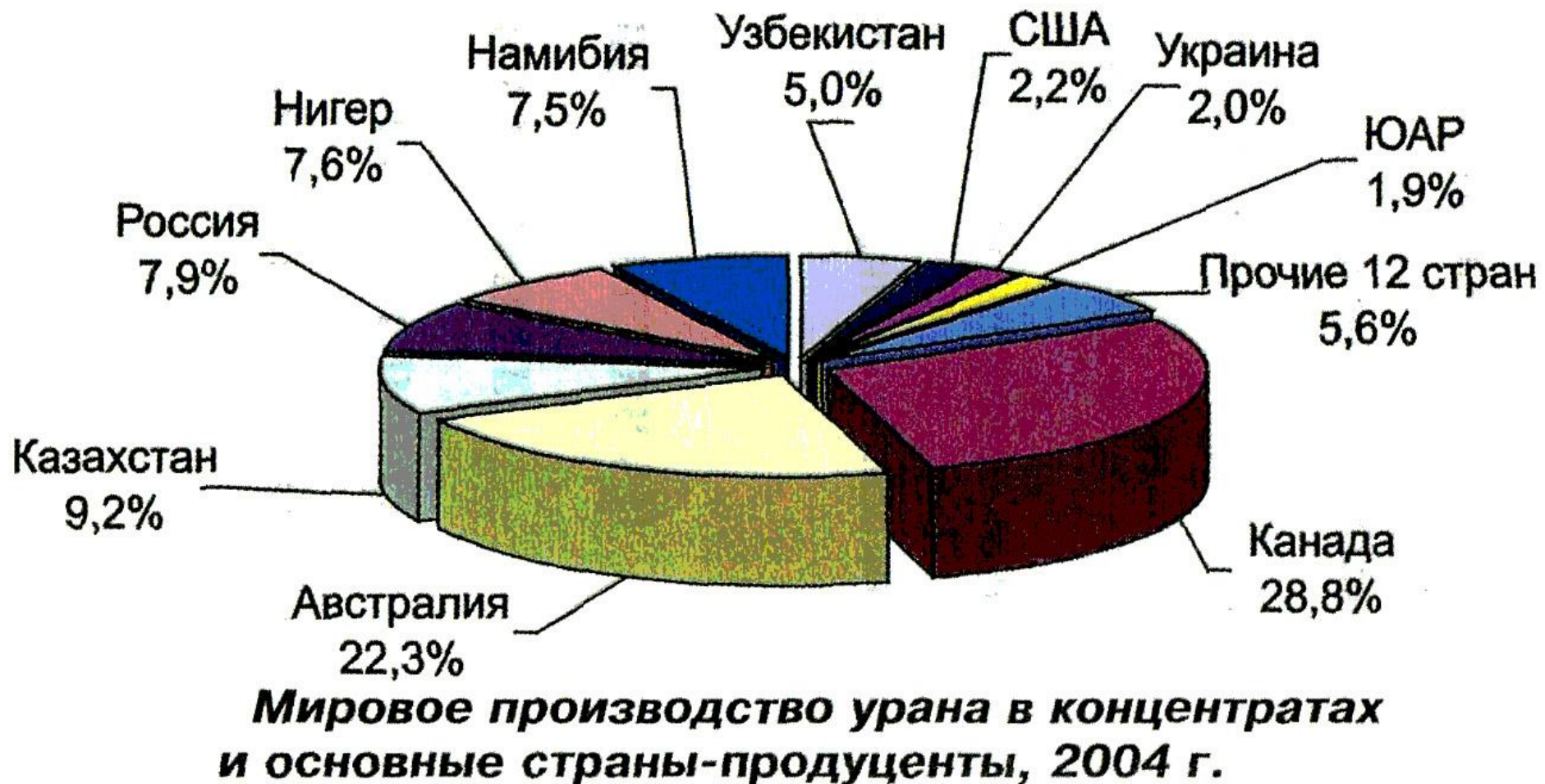
Доля запасов с себестоимостью производства урана менее 80 дол./кг в Австралии достигает почти 96%, в Казахстане – 57%, в Канаде – 82% /Ставский и др.,2013/.



**Мировые подтвержденные запасы урана и их
распределение по странам, 2005 г.**

М.П. Бежанова, С.К. Бежанов

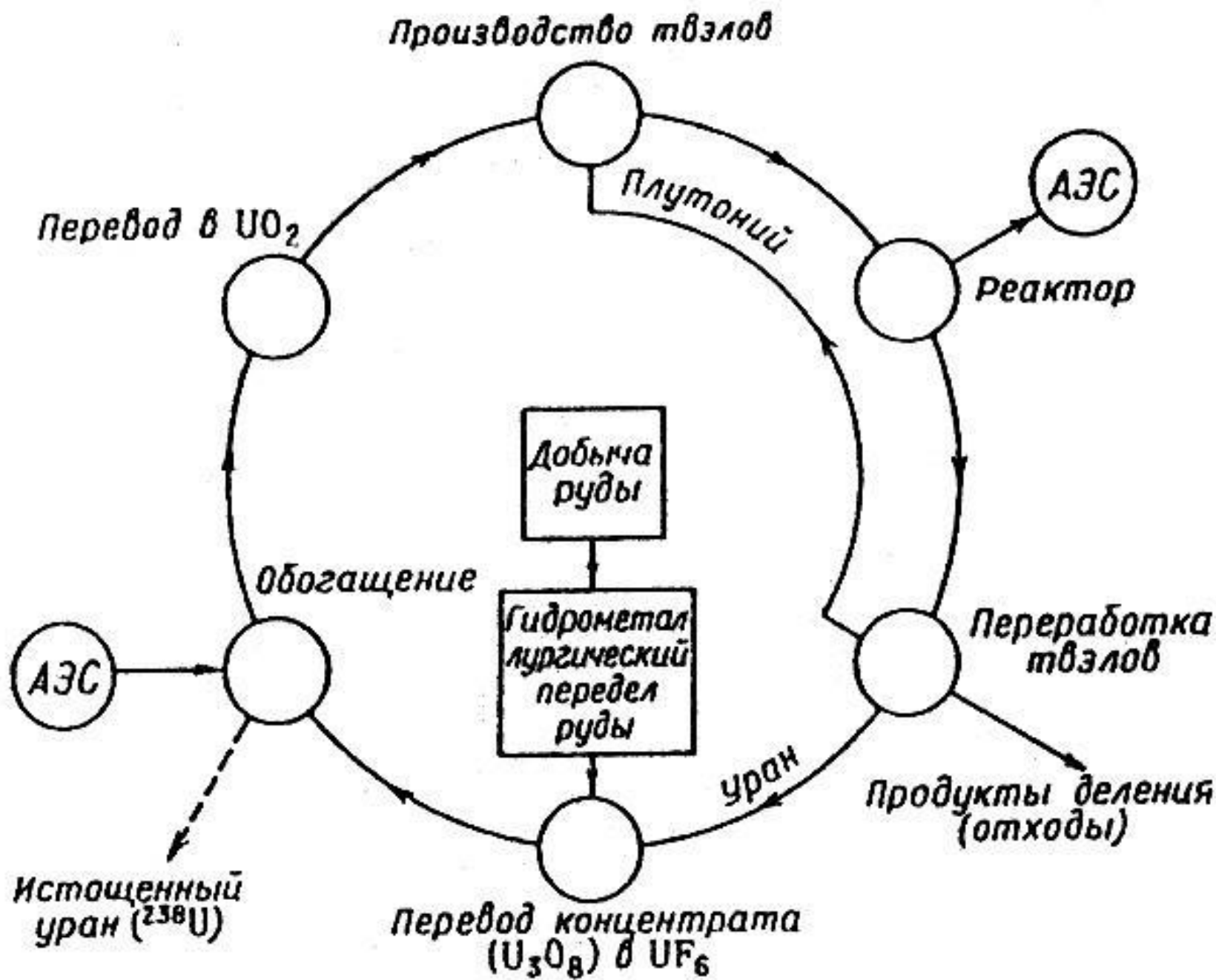
Мир – 40,31 тыс. т



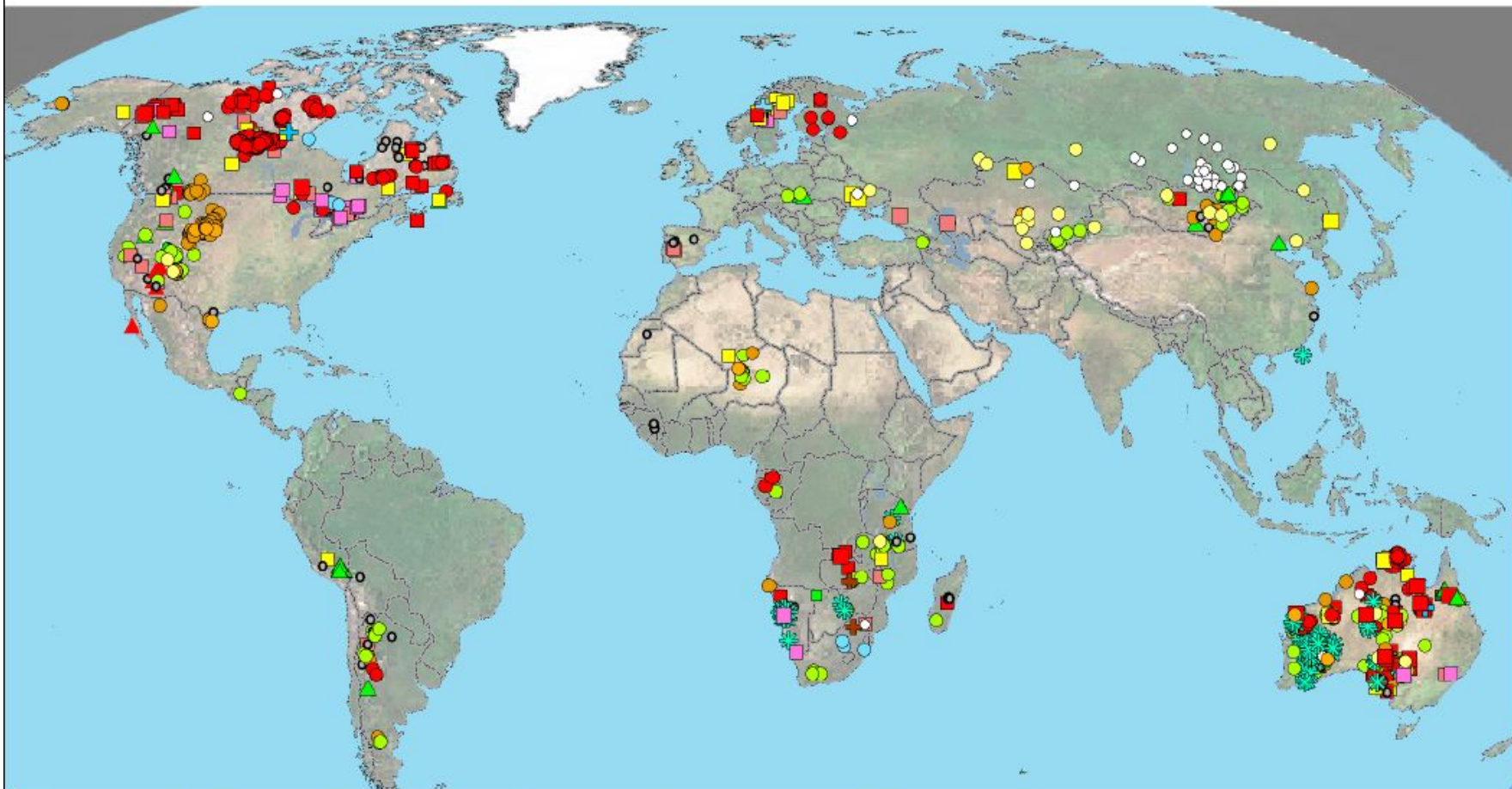
/Бежанова, Бежанов, 2008/

Производственные мощности корпорации «ТВЭЛ» составляют 17,6% мировых, на ее топливе работают 76 энергетических реакторов в четырнадцати странах мира /Ставский и др., 2013/.

Схема ядерно-топливного цикла



Distribution of Uranium Projects as of June 2006



Uranium Projects classified by Deposit Type (n= 1,187) June 2000 = 198 projects

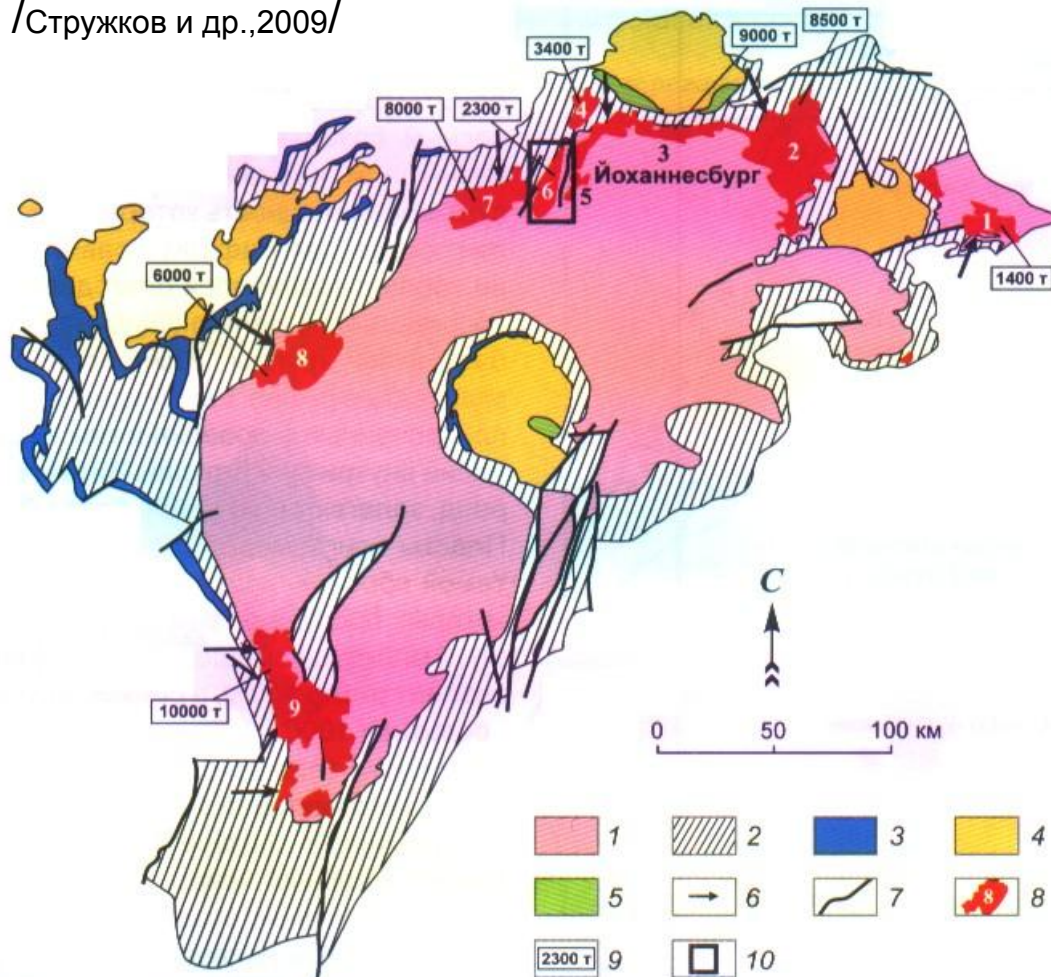
○ Unclassified	● Unconformity-Type	○ Roll Front-type	○ Channel and Tabular-type	● Quartz-Pebble conglomerate	▲ Volcanics	■ IOCG Breccia Complex	○ Epimetamorphic Vein-type	■ Anatectic Granitoid-type	■ Intrusion-related Veins	■ Skarns	■ Phosphate-hosted	+ Lignite	Calcrete	■ Pedogenic / Structure Fill	■ Peat and Bog
----------------	---------------------	-------------------	----------------------------	------------------------------	-------------	------------------------	----------------------------	----------------------------	---------------------------	----------	--------------------	-----------	----------	------------------------------	----------------



Выпуск U в концентратах основными странами-продуцентами в 2009гг., тыс.т [Егорова и др.,2011] Цена на U 47 \$/фунт (103 \$/кг) 10.2011

Рис. 1. Схема геологического строения золоторудного района Витватерсранд (по (2), с изменениями)

/Стружков и др., 2009/



Архейские породы – супергруппа Витватерсранд: 1 – песчаники и конгломераты группы Централ Ранд; 2 – песчаники и конгломераты группы Вест Ранд; 3 – вулканиты группы Доминион; 4 – гранитоиды; 5 – зеленокаменные породы (аповулканиты); 6 – палеосклон и направление сноса; 7 – основные разломы; 8 – золоторудные поля: 1 – Эвандер, 2 – Ист Ранд, 3 – Централ Ранд, 4 – Вест Ранд, 5 – Саус Дип, 6 – Вестерн Арияс, 7 – Карлетонвиль, 8 – Клерксдорп, 9 – Вельком; 9 – добыча золота, т; 10 – группа золоторудных полей и месторождений, показанная на рис. 3

Pyritic Quartz Pebble Conglomerate Model – Witwatersrand sub-type

Vaal Reef 6400 Level

Ore
Horizon

Carbon
Leader



Kopanang Mine DDH KM04-0007

200

Carbon Leader

Vaal Reef

- **Uranium Minerals**

- **Uraninite**, uranothorite, brannerite , coffinite, thucholite

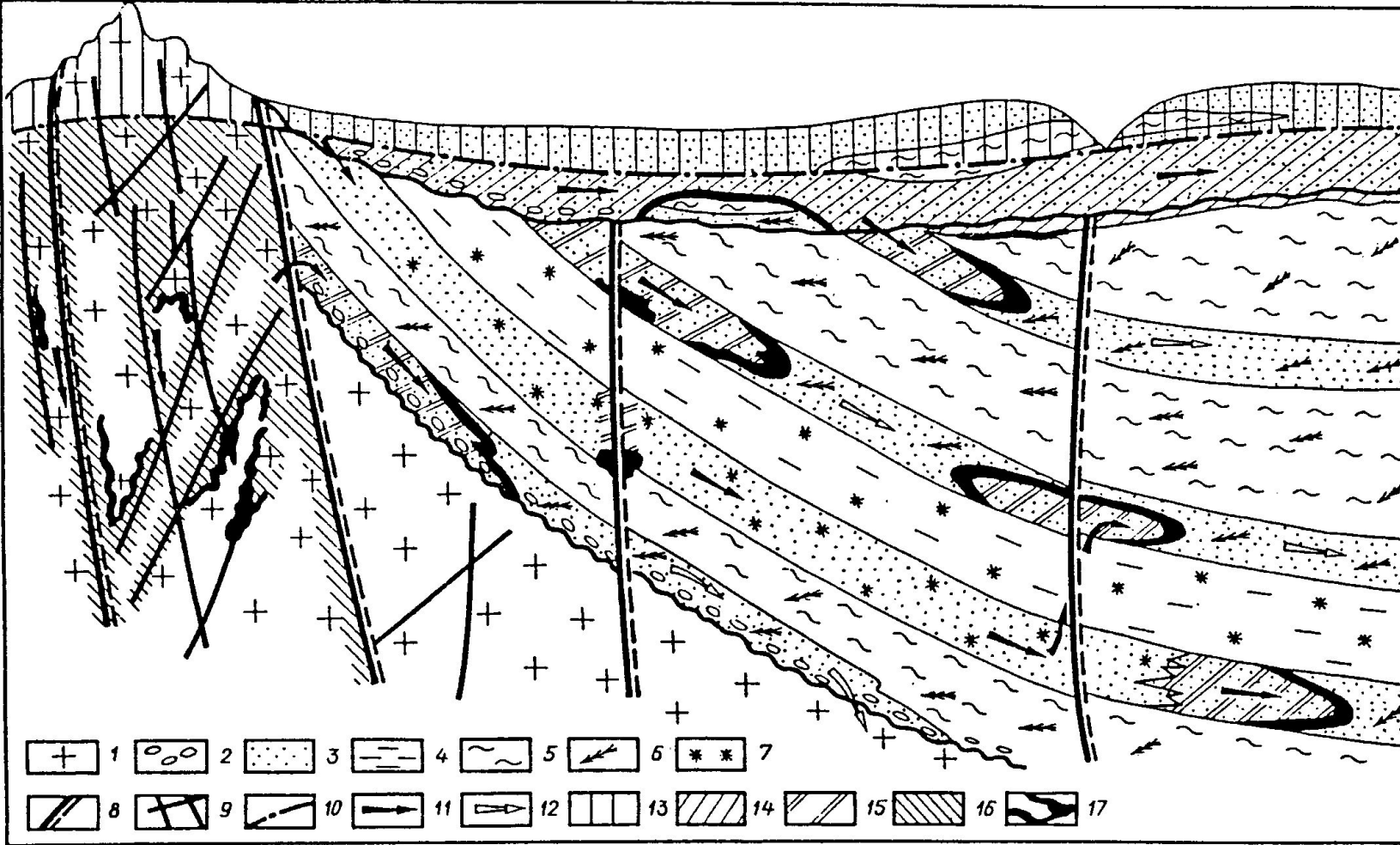
- **Alteration**

- Regional pyrophyllite-chloritoid-muscovite-chlorite-quartz-rutile-pyrite

- **Element Association:**

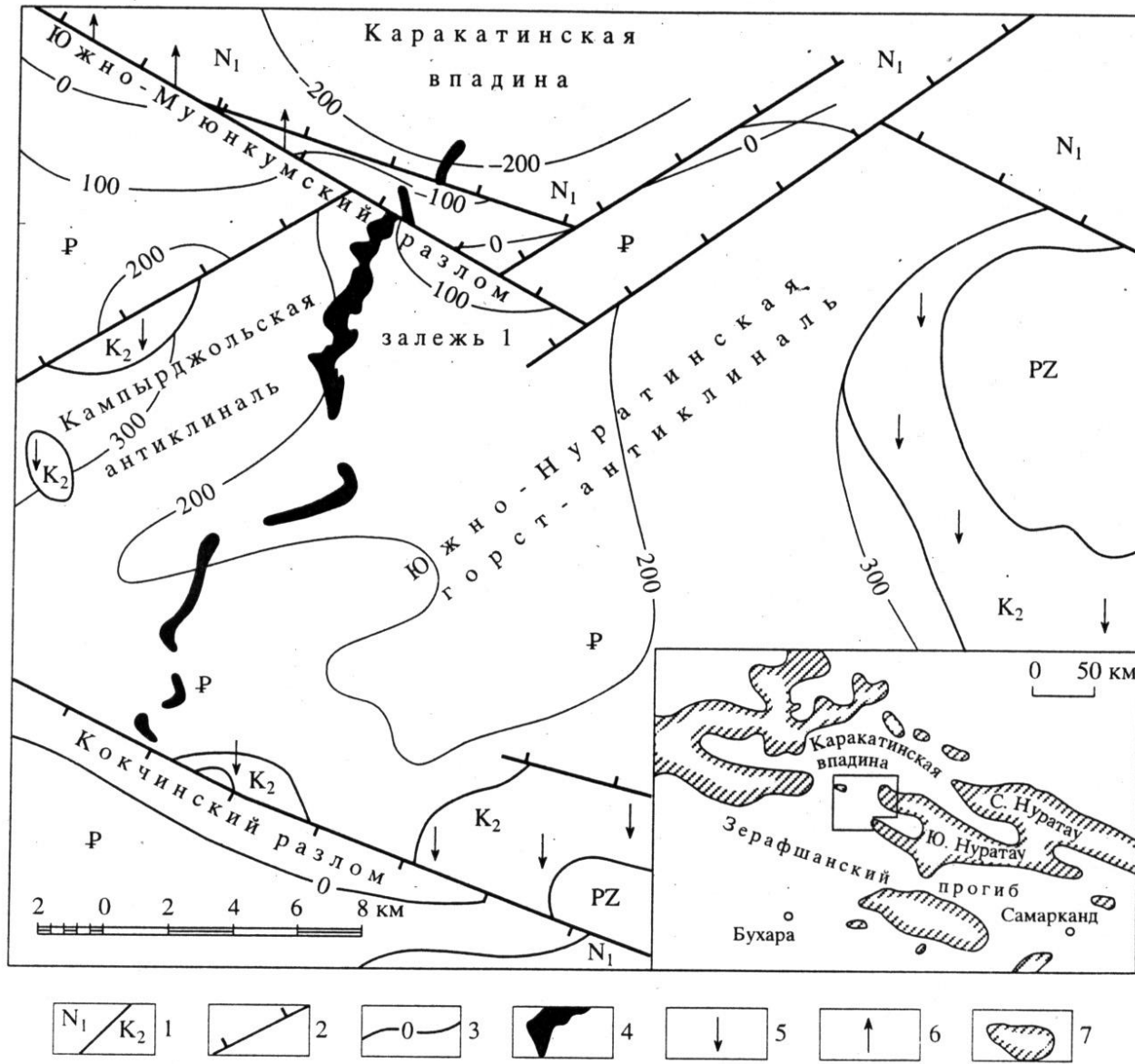
- **U, Au, Ag, (REE, Ti, Fe, S, PGE, Ni, Co)**

- U:Th ~15:1, U:Au 5->500:1, 100x more Au than Elliot Lake type



**Зоны окисления и связь с ними уранового оруденения. По Е.М.Шмариовичу, упрощено.
Отношение вертикального и горизонтального масштабов 1:100.**

1 – породы фундамента; 2 – галька и гравий; 3 – песок; 4 – алевролит; 5 – глина; 6 – первично сероцветные породы с углистыми остатками; 7 – первично красноцветные породы; 8 – разломы; 9 – зоны трещиноватости; 10 – уровень грунтовых вод; 11–12 - направление движения подземных вод: 11 – кислородных ураноносных, 12 – бескислородных, не содержащих уран; 13-16 – зоны окисления: 13 – поверхностного, 14 – грунтового пластово-порового, 15 – порового пластового (ЗПО), 16 – трещинного; 17 – урановое оруденение.

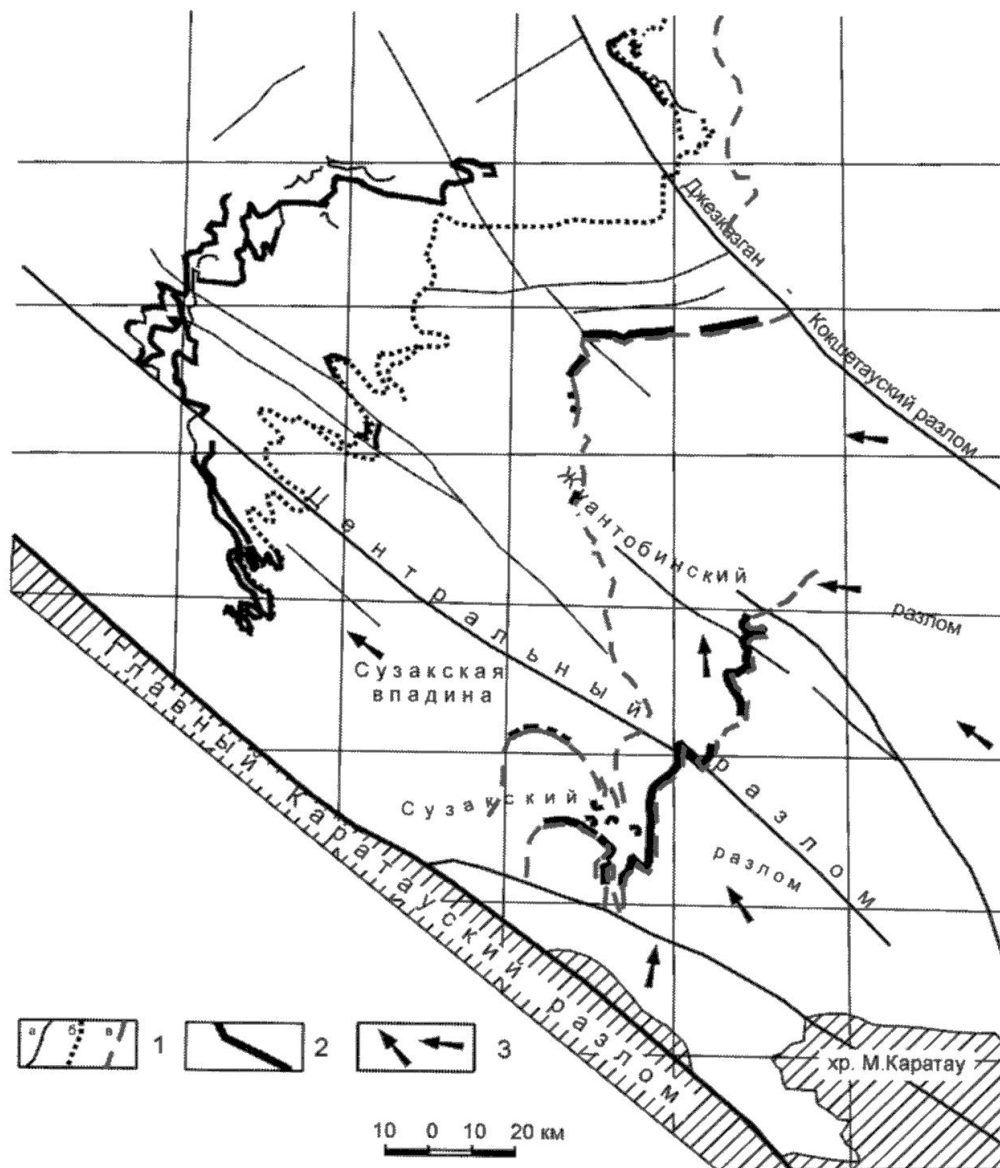


Фиг. 1. Геолого-структурная схема района месторождения Букинай. ГРМ, №1, т. 38, 1996

1 – выходы на дневную поверхность пород палеозойского складчатого фундамента (PZ), песчано-глинистых отложений верхнего мела (K₂), карбонатных и глинистых пород палеогена (P), песчано-глинистых пород миоцена (N₁); 2 – разломы (штрихи направлены в сторону опущенного блока); 3 – стратоизогипсы кровли верхнемеловых пород; 4 – проекция рудной залежи 1 на дневную поверхность; области питания (5) и разгрузки (6)рудовмещающего водоносного комплекса; 7 – выходы палеозойского фундамента на мелкомасштабной карте.

Барханы Кызыл Кумов

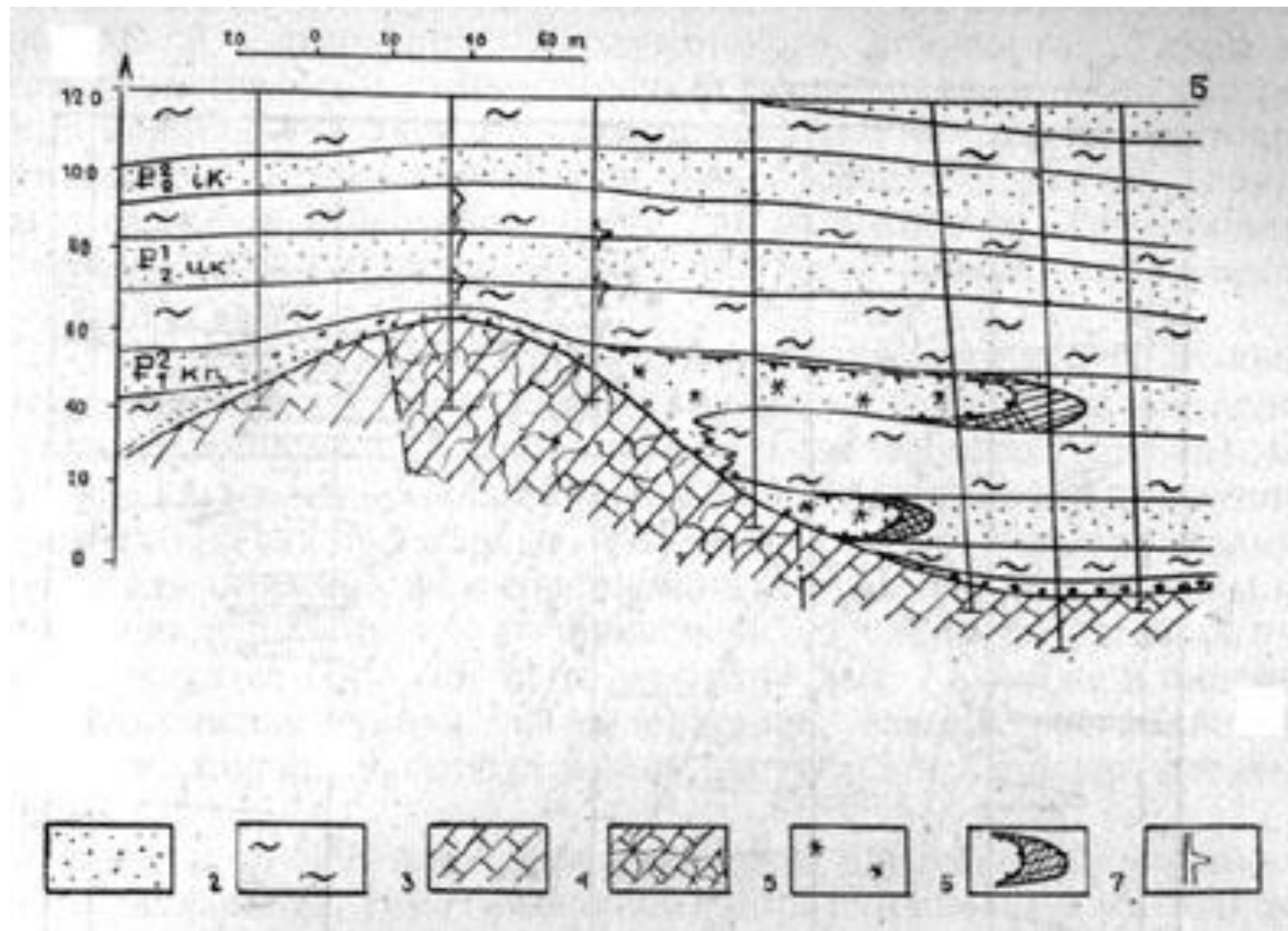




Положение экзогенно-инфилтратационного уранового оруденения в породах чехла Чу-Сарысуйской депрессии /Величкин, Власов, 2006/

1 - границы зон пластового окисления в отложениях K₂ (а), Pg (б) и Pg-N (в); 2 - рудные тела; 3 - направления движения пластовых вод.

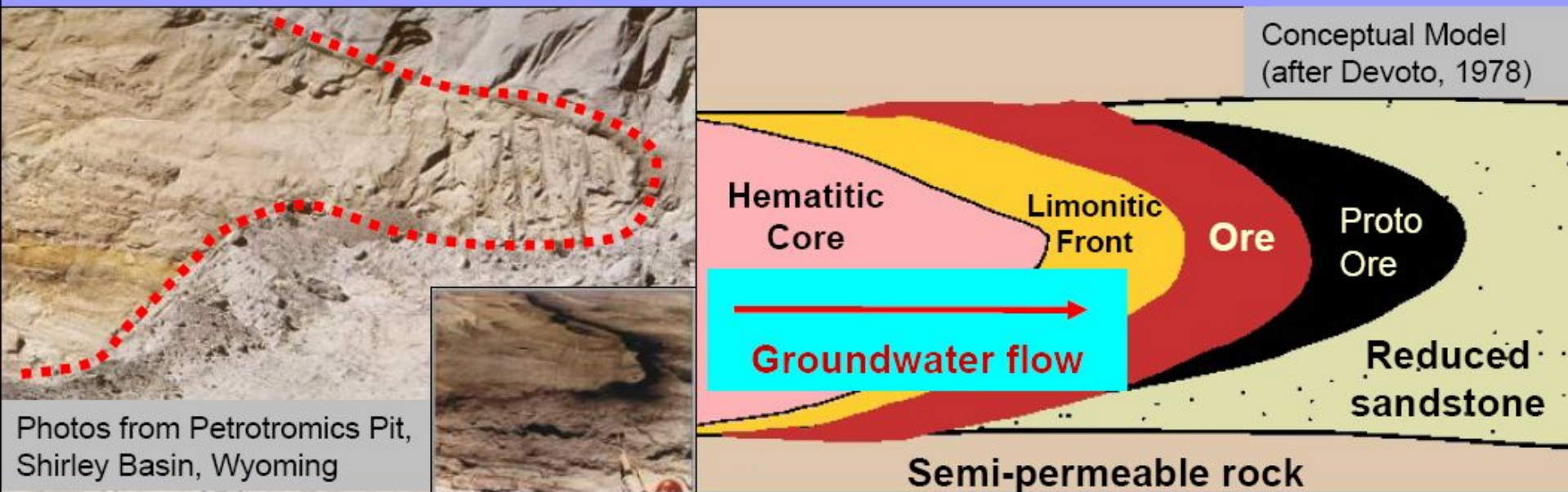
Разрез Канджуганского месторождения урана роллового типа



Модель роллового месторождения урана

/Томас, Брисби, Древер, Залусский, 2006/

Sandstone-type Uranium Model - Roll-Front Anatomy

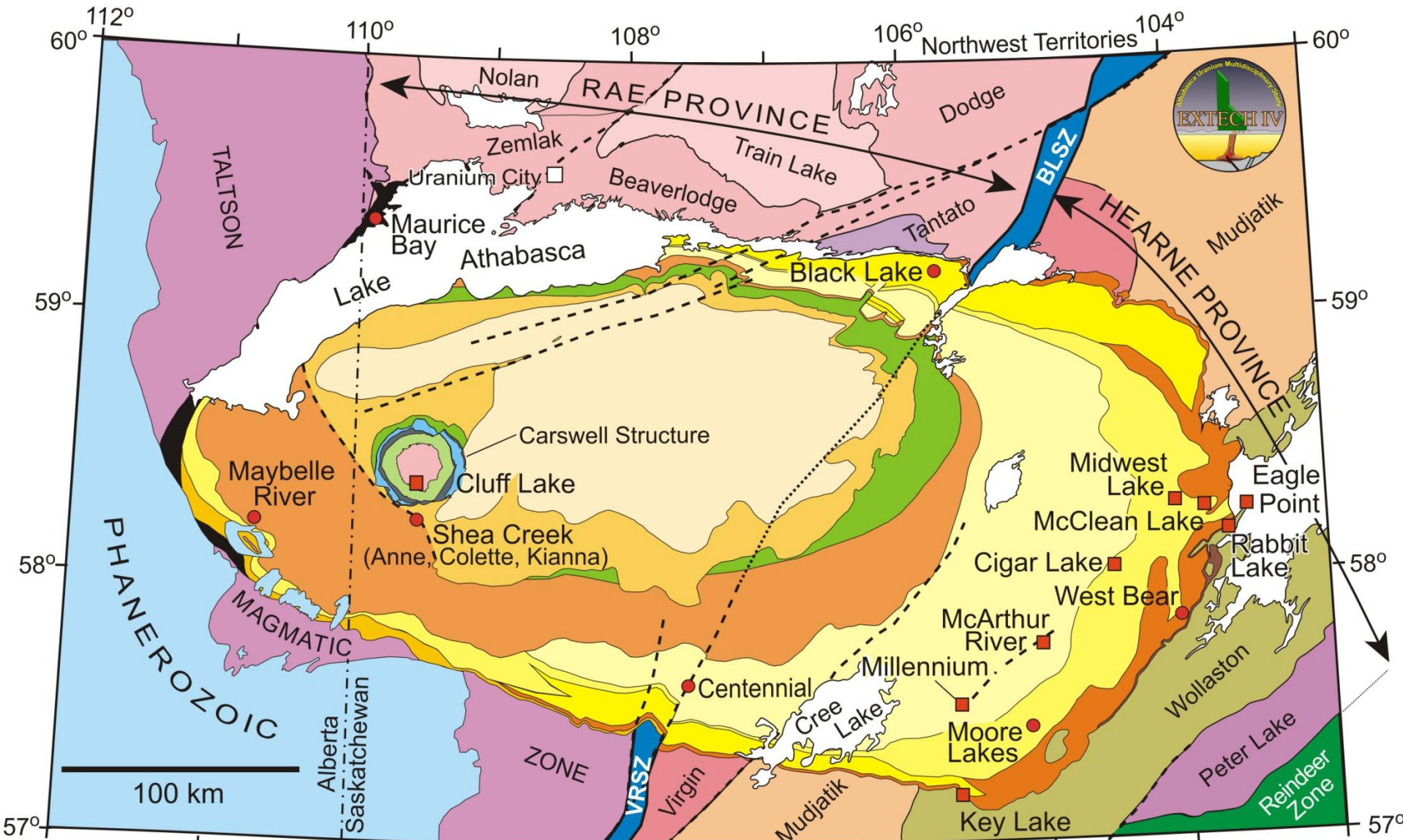


Фрагмент полигона ПВ урановых руд района Уч-Кудука



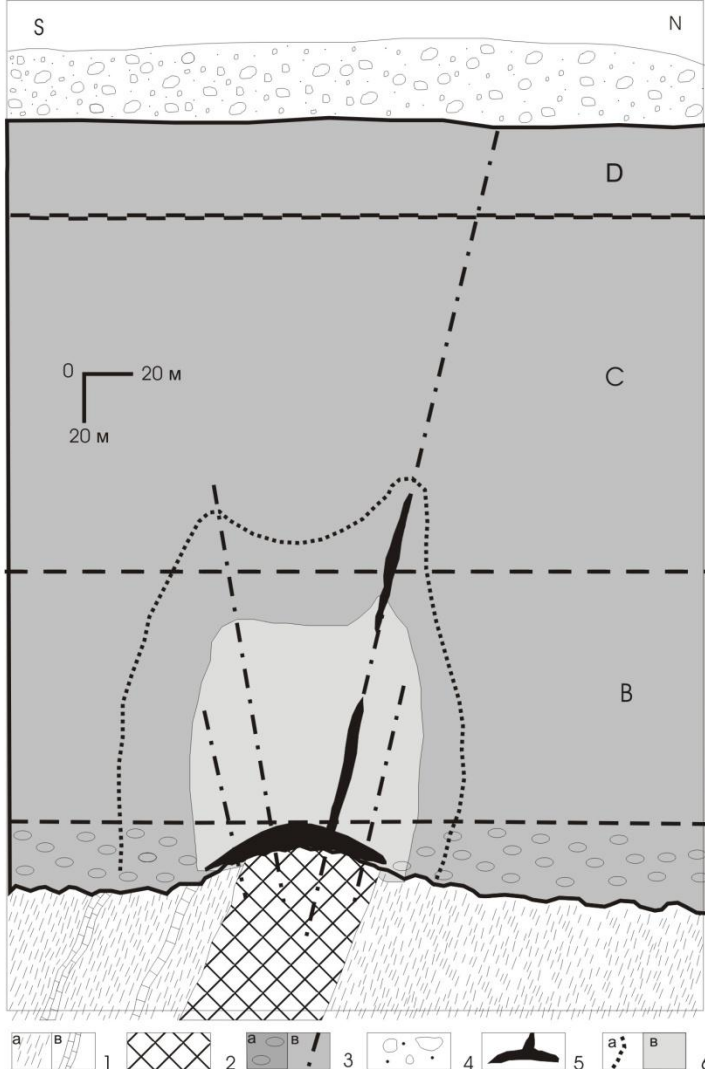


Рис. 7.9.3. Геологический разрез по линии Амброзия-Лейк - Норт-Лагуна урановорудного района Грантс на плато Колорадо в США. По В.Е.Бойцову /1989/.



FORMATIONS OF THE ATHABASCA GROUP





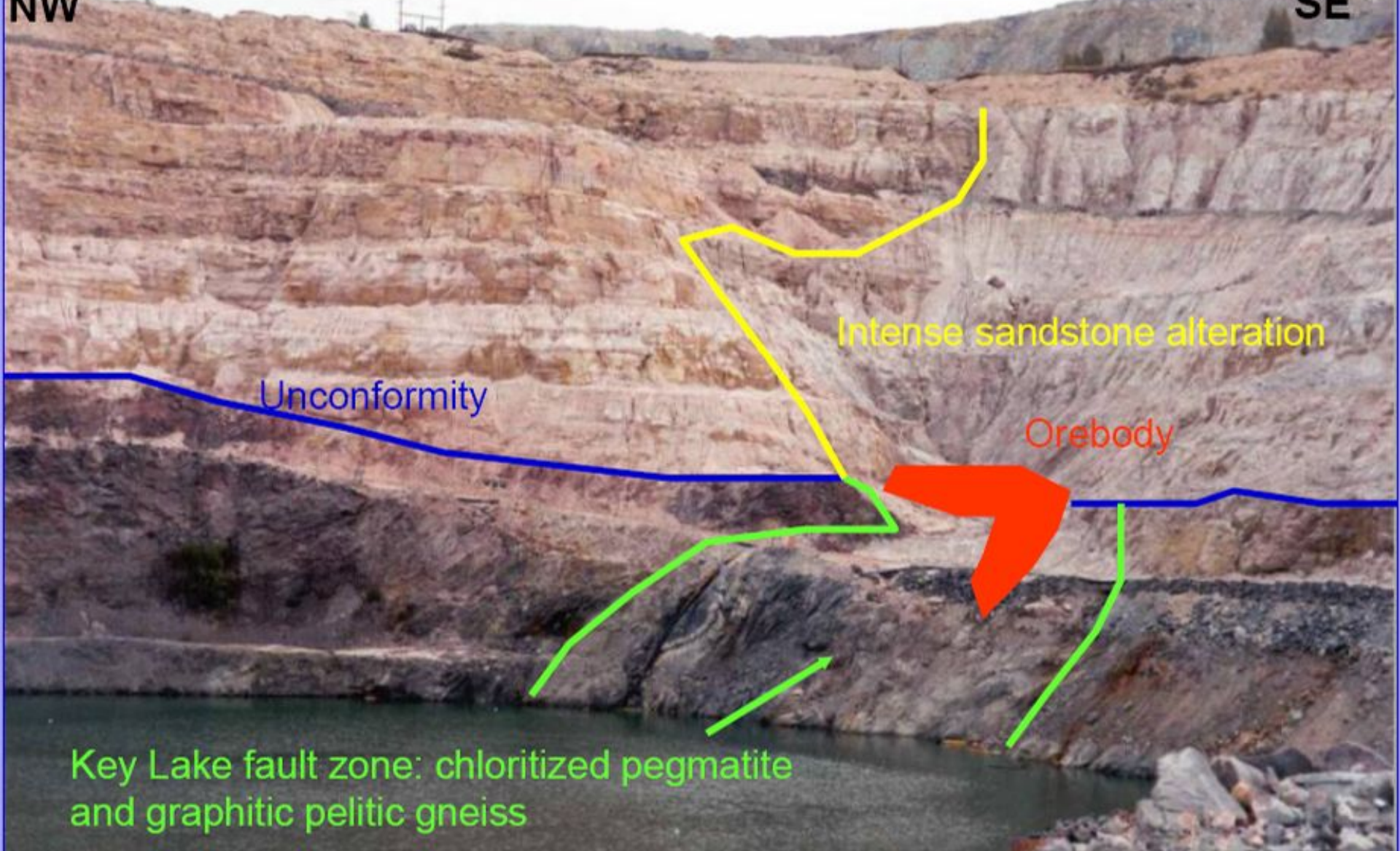
Разрез месторождения урана типа несогласия Сигар Лейк в Канаде

Рис. 7.113. Схематический геологический разрез месторождения Сигар Лэйк /Bruneton, 1986/.

1 – 2 – породы архейского и раннепротерозойского фундамента: 1 – тонкозернистые сланцы и метапелиты (а) и известковистые гнейсы (б); 2 – очковые метапелиты, обогащенные углеродистым веществом; 3 – осадочные породы рифея базальные залегающие на породах фундамента с резким несогласием и разбитые вместе с ними разломами, включающие конгломераты (а) и пестроцветные терригенные отложения разных пачек (В, С, Д) (б); 4 – четвертичные ледниковые отложения; 5 – урановорудные залежи основная субсогласная, контролирующаяся поверхностью рифейского несогласия и мелкие крутопадающие жильные рудные тела, располагающиеся вдоль разломов; 6 – верхняя граница наиболее интенсивно тектонически нарушенных пород (а) и верхняя граница аргиллизированных пород (б).

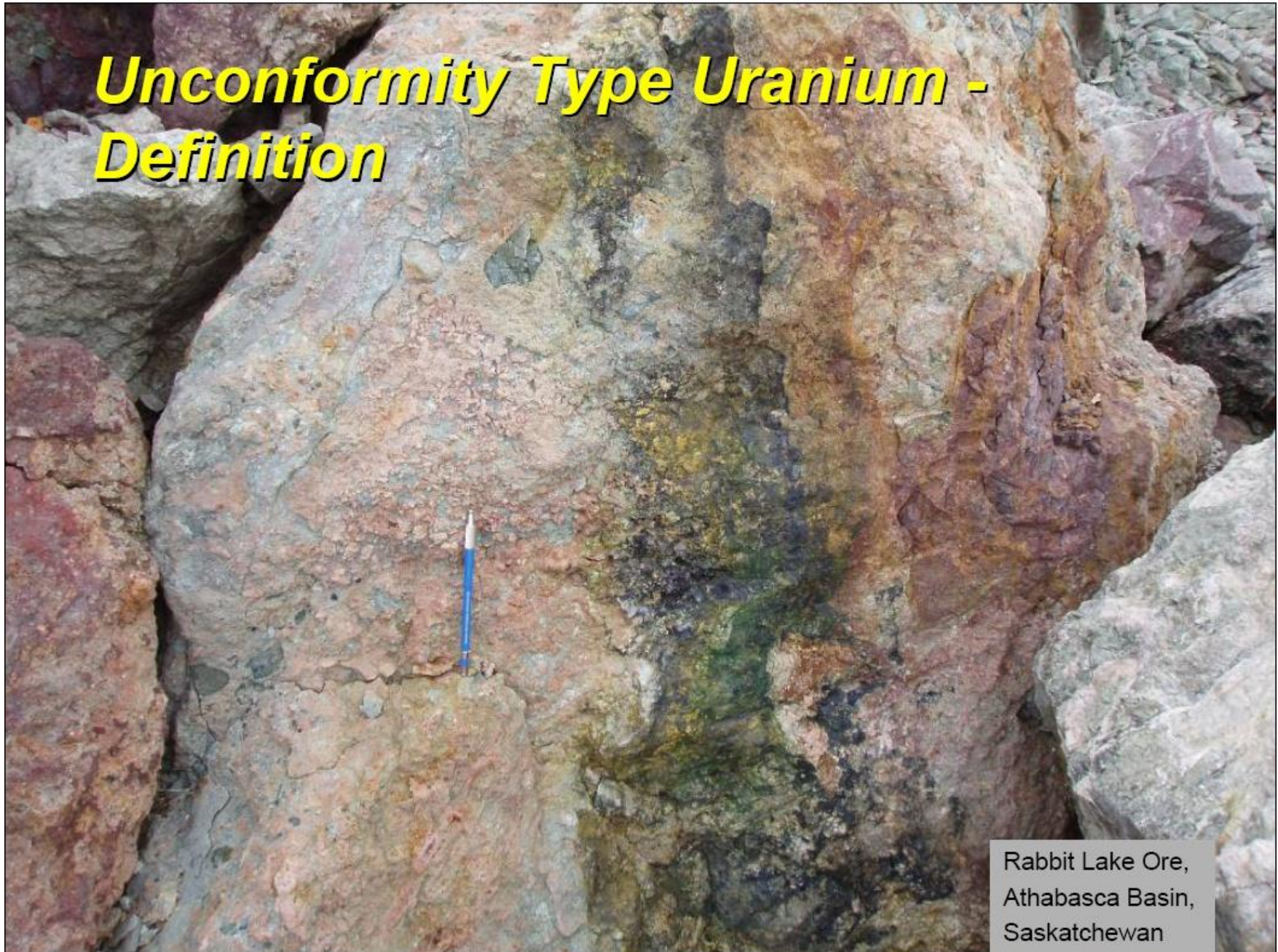
NW

SE



Урановая рудная зона месторождения Ки Лэйк /Томас, Брисби, Древер, Залусский,
2006/

Unconformity Type Uranium - Definition

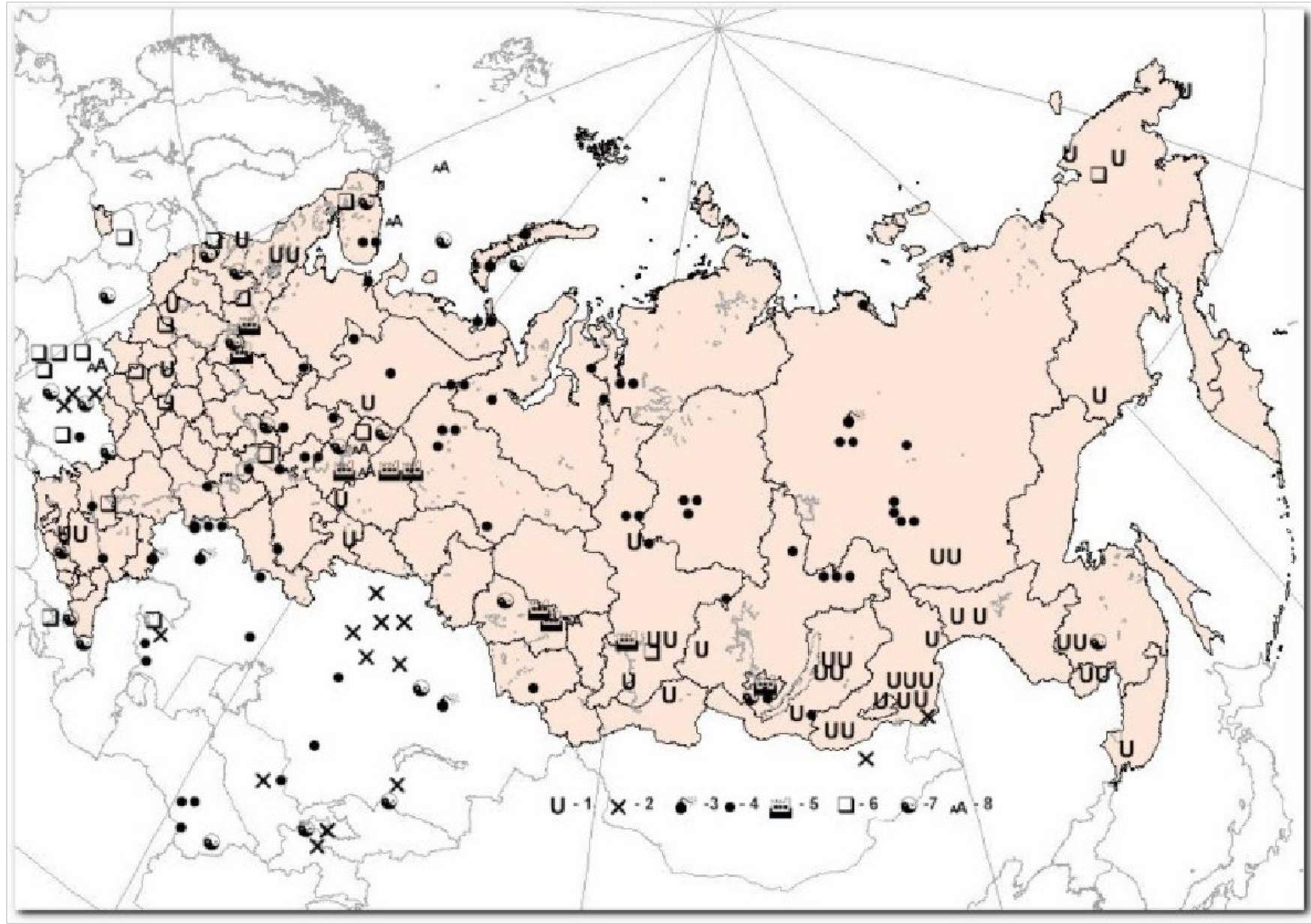


Rabbit Lake Ore,
Athabasca Basin,
Saskatchewan

Типичная урановая руда месторождения Рэбит Лэйк /Томас, Брисби, Древер,
Залусский, 2006/

Основные месторождения урана РФ [Ставский и др., 2012]

Недропользователь, месторождение	Геолого-промышленный тип	Запасы, тыс.т урана		Содерж. урана в рудах, %	Добыча в 2011 г., т урана
		ABC ₁	C ₂		
ОАО «Приаргунское горно-химическое объединение»					
Стрельцовское (Забайкальский край)	Молибден-урановый в вулканитах	27	8,7	0,154	1412
Аргунское(Забайкальский край)	Молибден-урановый в вулканитах	28	9,5	0,215	0
ОАО «Техснабэкспорт»					
Южное (Респ. Саха (Якутия))	Золото-урановый в метасомати-тах	63,5	194,4	0,145	0
Северное (Респ. Саха (Якутия))	Урановый в метасомати- тах	0	58,6	0,149	0



Расположение объектов ЯТЦ, аварий и мест, связанных с испытанием атомного оружия в России и сопредельных регионах.
1 – урановые месторождения и рудопроявления; 2 – урановые рудники, на которых проводились исследования; 3, 4 – места проведения серий и отдельных ядерных взрывов; 5 – крупные предприятия по переработке и обогащению уранового сырья;
6 – наземные и подземные АС; 7 – места захоронения РАО; 8 – места крупных аварий.



Схема распространения подземных ядерных взрывов в «мирных целях» в СССР. Размер кружков соответствует степени интенсивности работ /Яблоков, 1995/

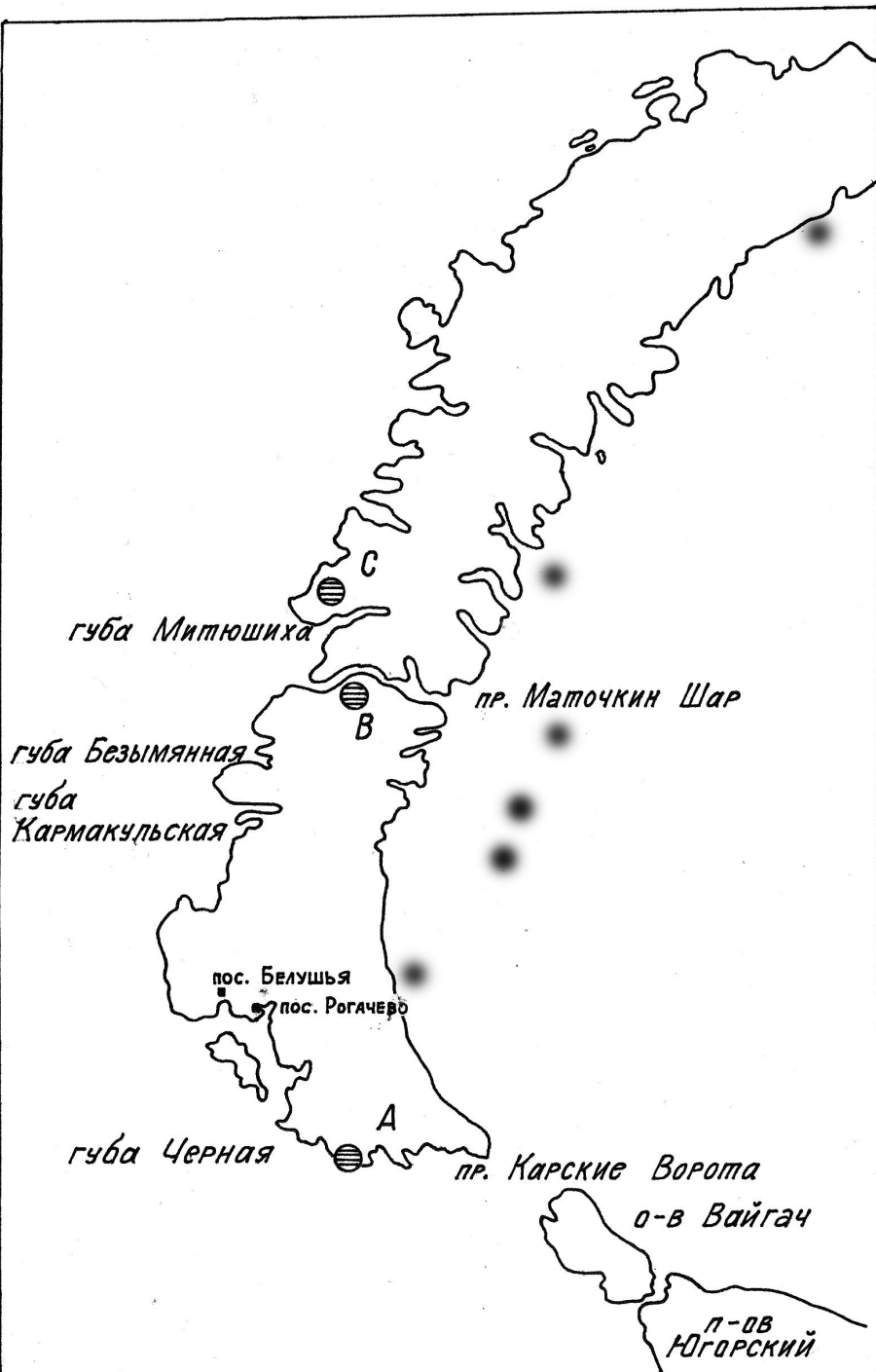


Схема расположения зон ядерных испытаний (кружки) и затопления кораблей с РАО (размытые кружки) на Новоземельском полигоне /Филоненко, 1995/. А, В и С - зоны проведения разных ядерных взрывов, включая: А - трех подводных и трех надводных (1953-62 гг), наземного (1957 г.) и 6 подземных (1972-75 гг); В - 36 подземных (1964-90 гг); С - воздушных (1957-62 гг)

Состояние МСБ урана Российской Федерации на 1.01.2008 г., тыс.т

Прогнозные ресурсы	P ₁	P ₂	P ₃
количество*	273	639	1610
доля распределённого фонда, %	нет данных		
Запасы	A _{BC} ₁	C ₂	
количество	216,2	331,6	
изменение по отношению к запасам на 1.01.2007 г.	91,3	292,3	
доля распределённого фонда, %	88,7	89,6	

*оценка на 1.01.2007 г.

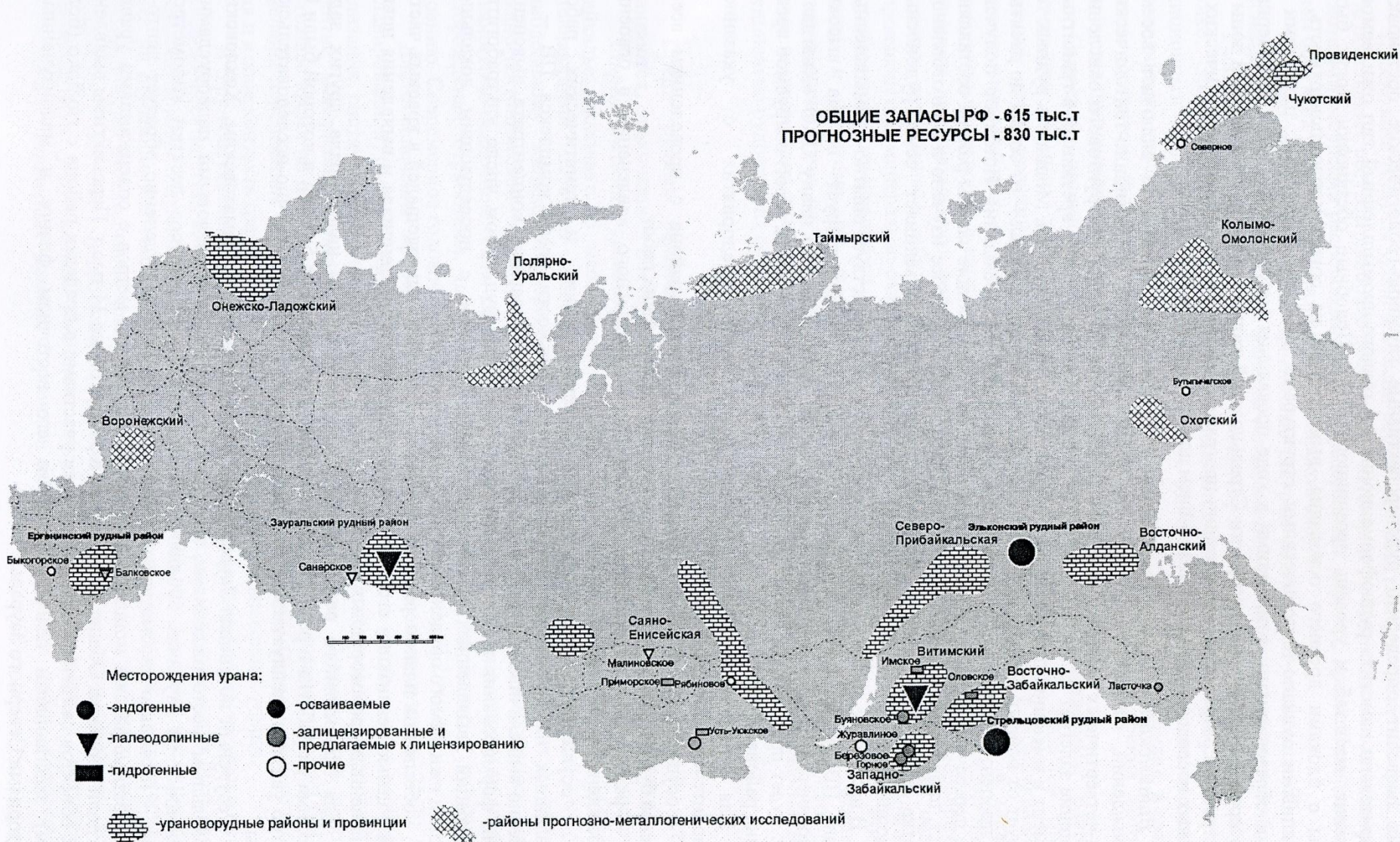
Использование МСБ урана Российской Федерации в 2007 г. Госдоклад, 2007

Число действующих эксплуатационных лицензий	29
Число действующих лицензий на условиях предпринимательского риска	3
Добыча из недр, тыс.т	3,6
Производство урановых концентратов (в пересчете на уран), тыс.т	3,6
Производство реакторного топлива (оценка), млрд руб.	36,9
Экспорт реакторного топлива, млрд руб.	22,1
Средняя за 10 месяцев 2008 г. цена концентратов U ₃ O ₈ , дол./кг урана	165
Ставка налога на добычу	5,5%

Россия обладает крупными прогнозными ресурсами урана, которые оцениваются более чем в 2,5 млн т, или 14,8% мировых. Большая их часть прогнозируется в четырех урановорудных районах: Стрельцовском и Восточно-Забайкальском в Читинской области, Витимском в Республике Бурятия и Эльконском в Республике Саха (Якутия).

В месторождениях России содержится почти 550 тыс.т запасов урана, или немногим менее 10% его мировых запасов; около 63% их сосредоточено в Республике Саха (Якутия).

Минерально-сырьевая база РФ /Бавлов,Машковцев,2009/



Минерально-сырьевая база урана РФ



**Основные месторождения урановых руд и распределение
балансовых запасов урана по субъектам РФ, тыс.т**

/Госдоклад, 2007

Основные месторождения урана РФ [Ставский и др., 2012]

Недропользователь, месторождение-	Геолого-промышленный тип	Запасы, тыс.т урана		Содерж. урана в рудах, %	Добыча в 2011 г., т урана
		ABC ₁	C ₂		
ОАО «Приаргунское горно-химическое объединение»					
Стрельцовское (Забайкальский край)	Молибден-урановый в вулканитах	27	8,7	0,154	1412
Аргунское(Забайкальский край)	Молибден-урановый в вулканитах	28	9,5	0,215	0
ОАО «Техснабэкспорт»					
Южное (Респ. Саха (Якутия))	Золото-урановый в метасоматитах	63,5	194,4	0,145	0
Северное (Респ. Саха (Якутия))	Урановый в метасоматитах	0	58,6	0,149	0

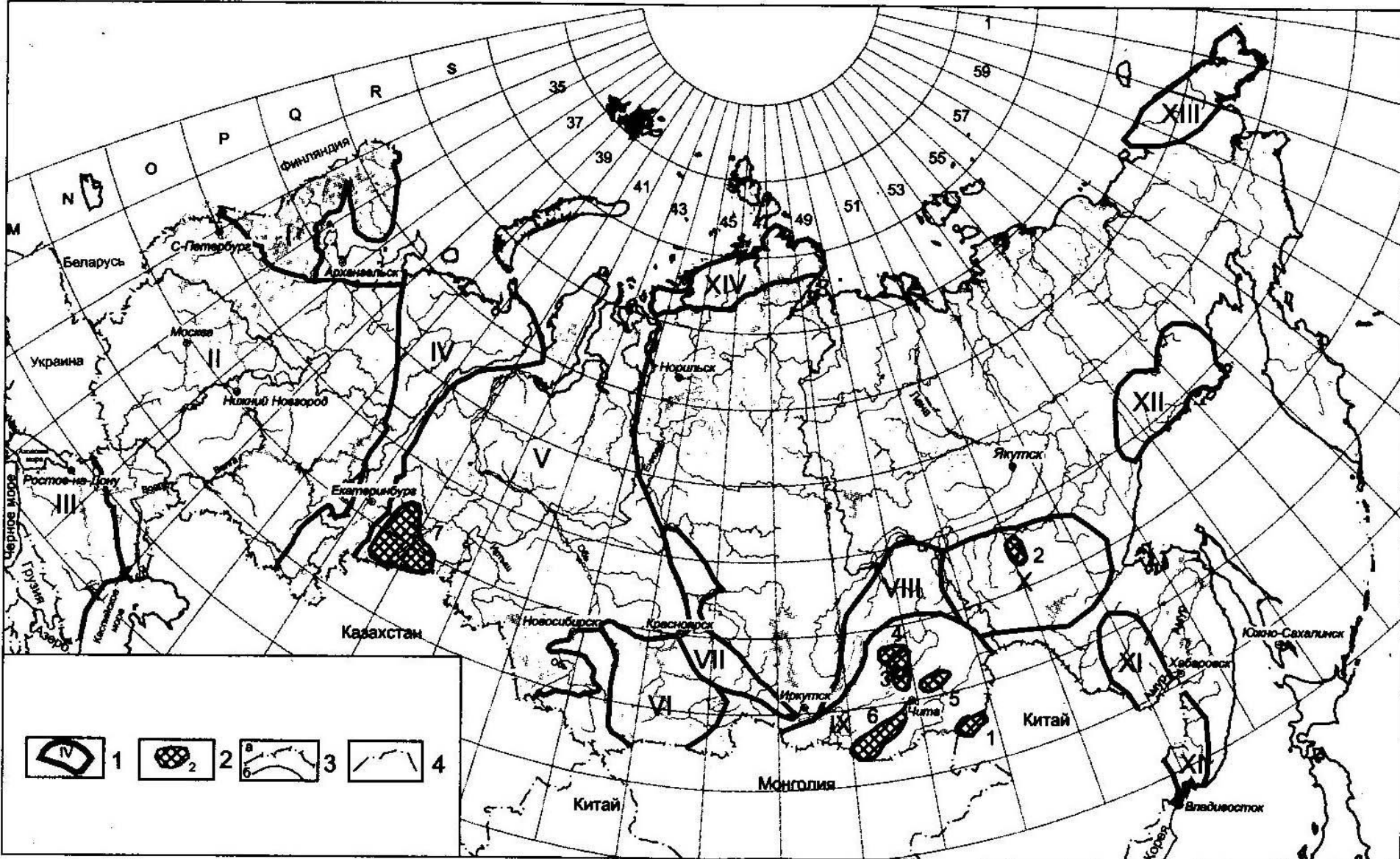
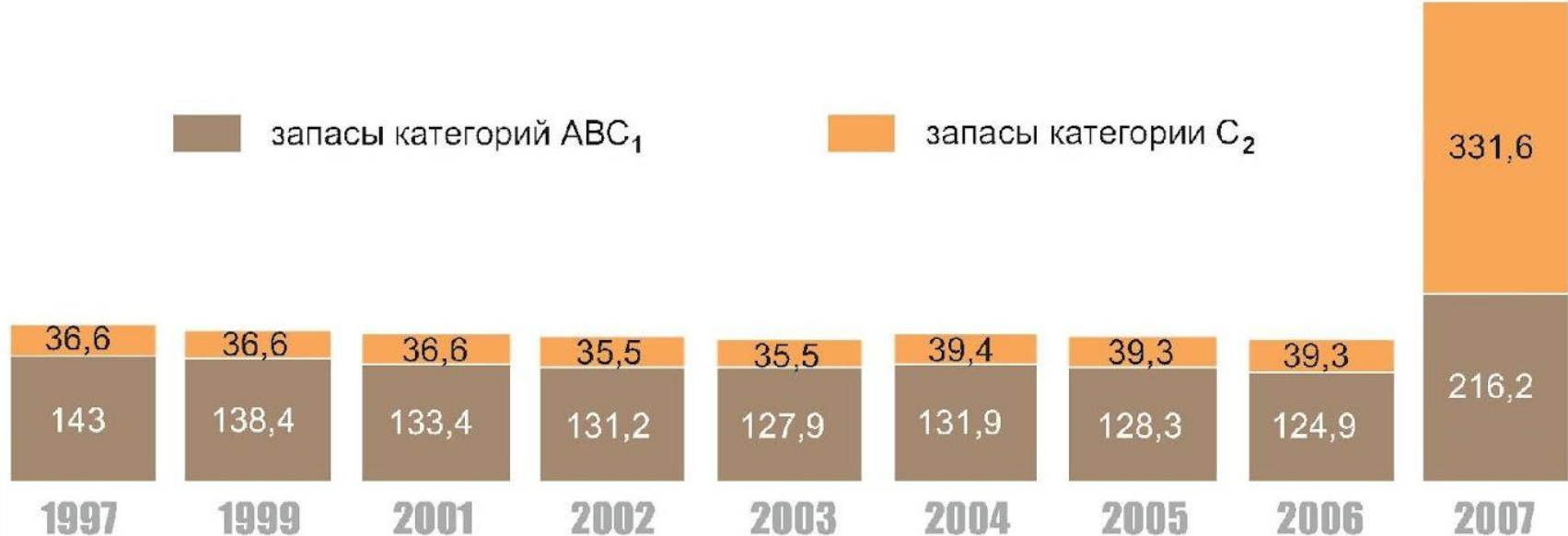
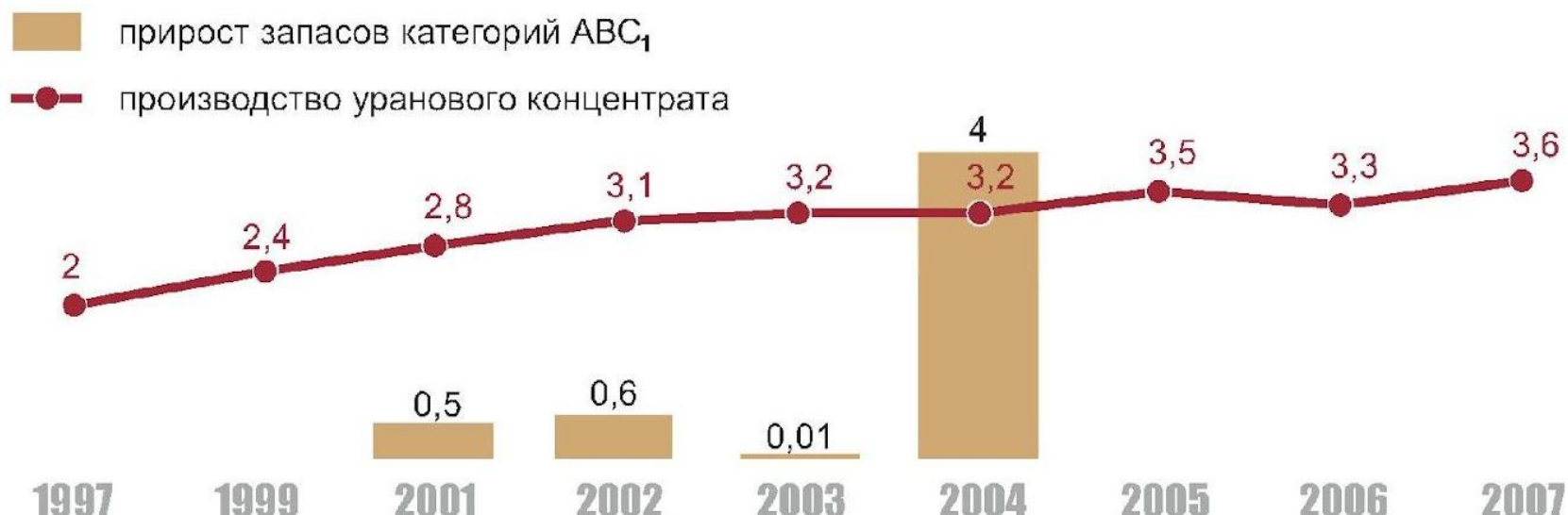


Схема размещения ураноносных регионов и определившихся урановорудных районов России [Уран России, 2010].

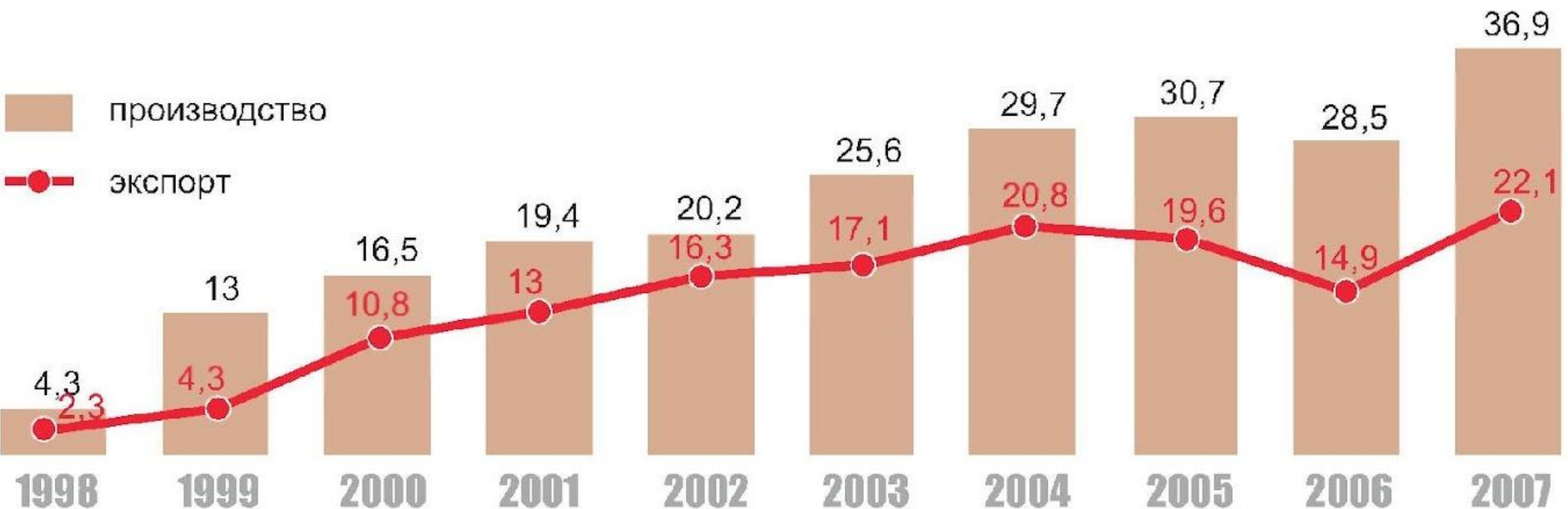
1 - ураноносные регионы: I - Балтийский, II - Центральный, III - Предкавказский, IV - Уральский, V - Западно-Сибирский, VI - Алтайско-Саянский, VII - Саяно-Енисейский, VIII - Северо-Прибайкальский, IX - Забайкальский, X - Алдано-Становой, XI - Буреинско-Ханкайский, XII - Охотский, XIII - Чукотский, XIV - Таймырский; 2 - определившиеся урановорудные районы: 1 - Приаргунский, 2 - Эльконский, 3 - Витимский, 4 - Малоамалатский, 5 - Оловский, 6 - Чикойский, 7 - Зауральский; 3 - государственная граница РФ (а), границы Федеральных округов (б); 4 - прочие государственные границы.



Динамика движения запасов урана в 1997-2007 гг., тыс.т /Госдоклад, 2007



Динамика производства уранового концентрата (в пересчёте на уран) и прироста запасов урана в результате ГРР в 1997-2007 гг., тыс.т



Динамика производства реакторного топлива
корпорацией «ТВЭЛ» и его экспорта в 1998-2007 гг., млрд руб. /Госдоклад, 2007

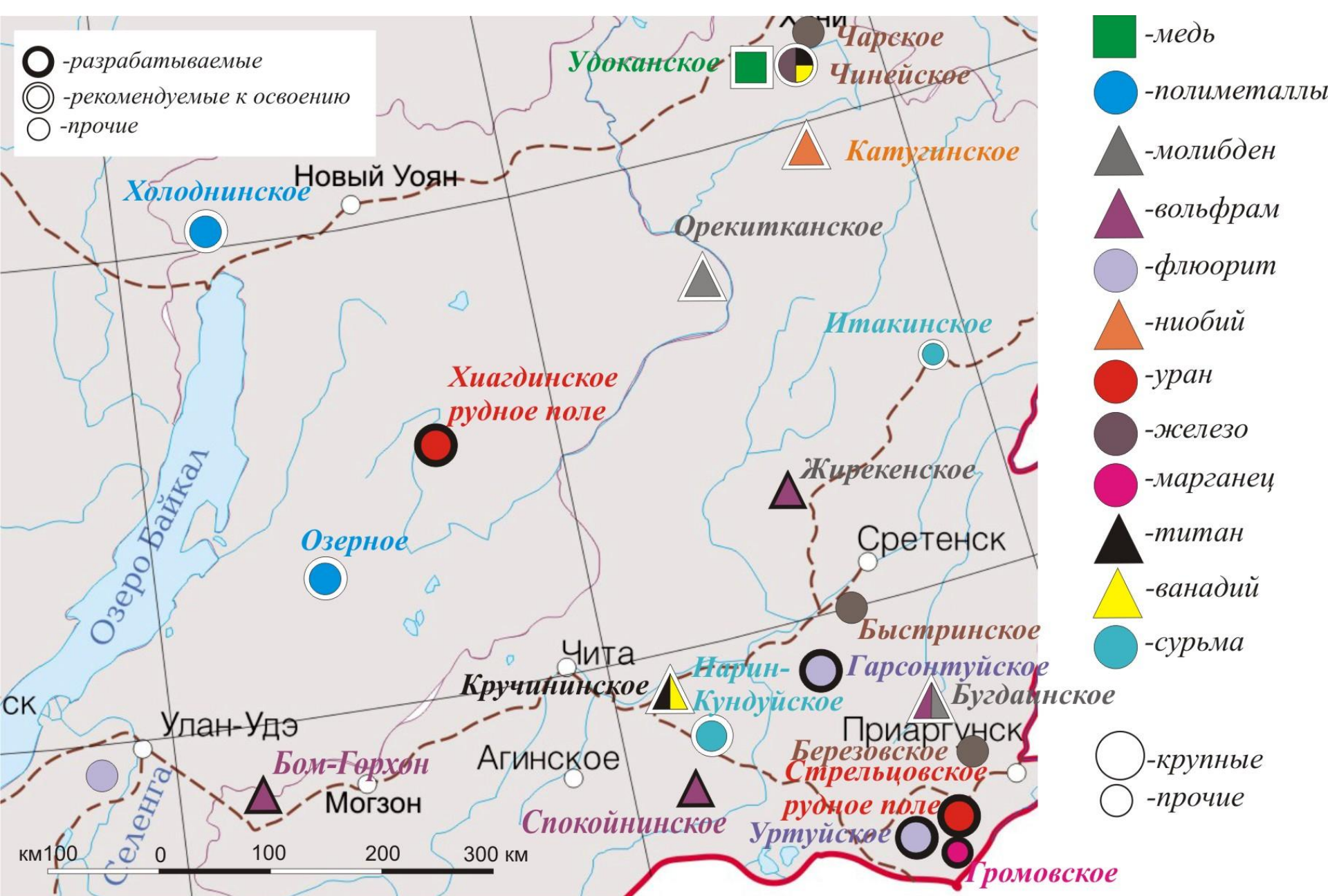
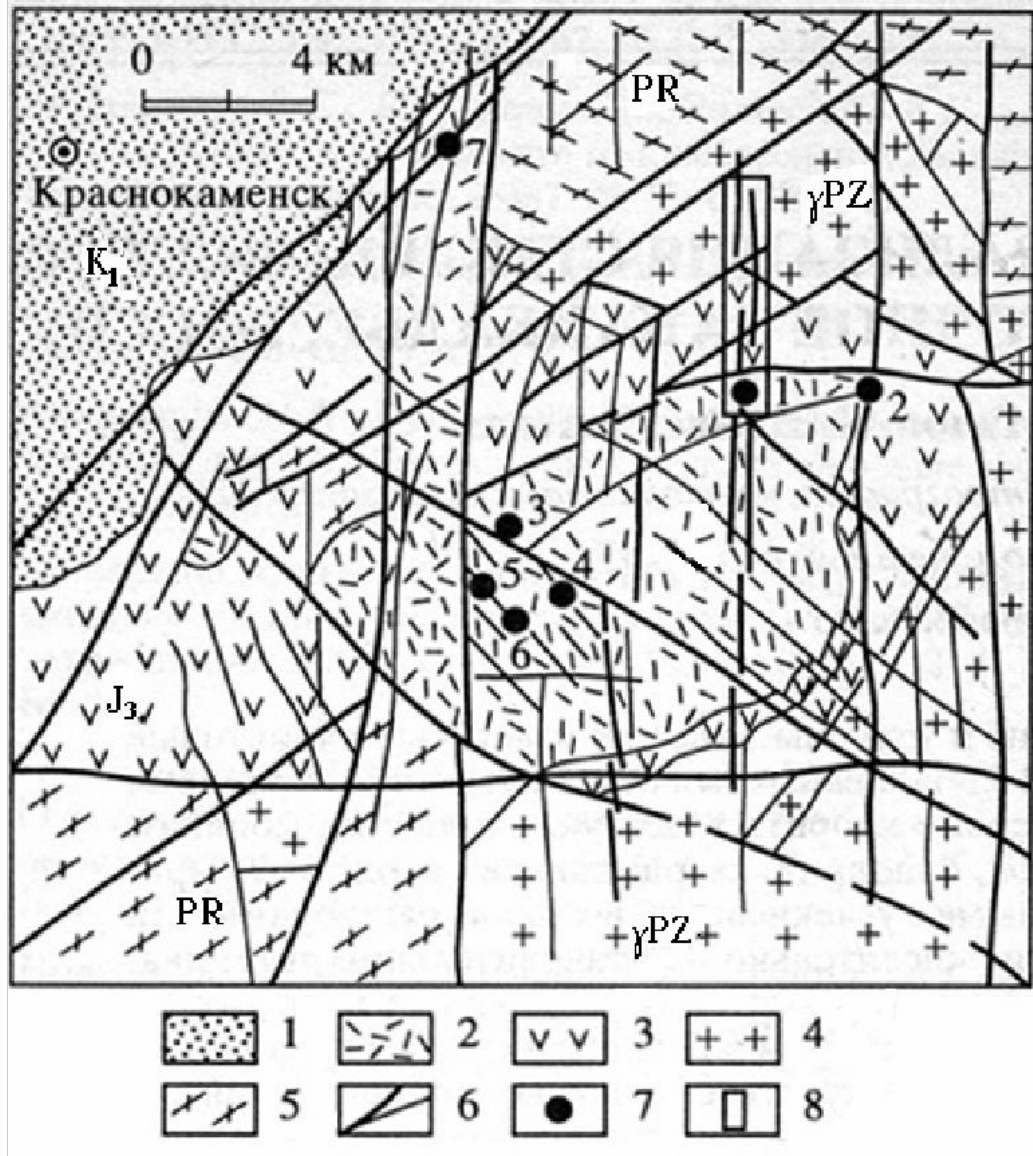


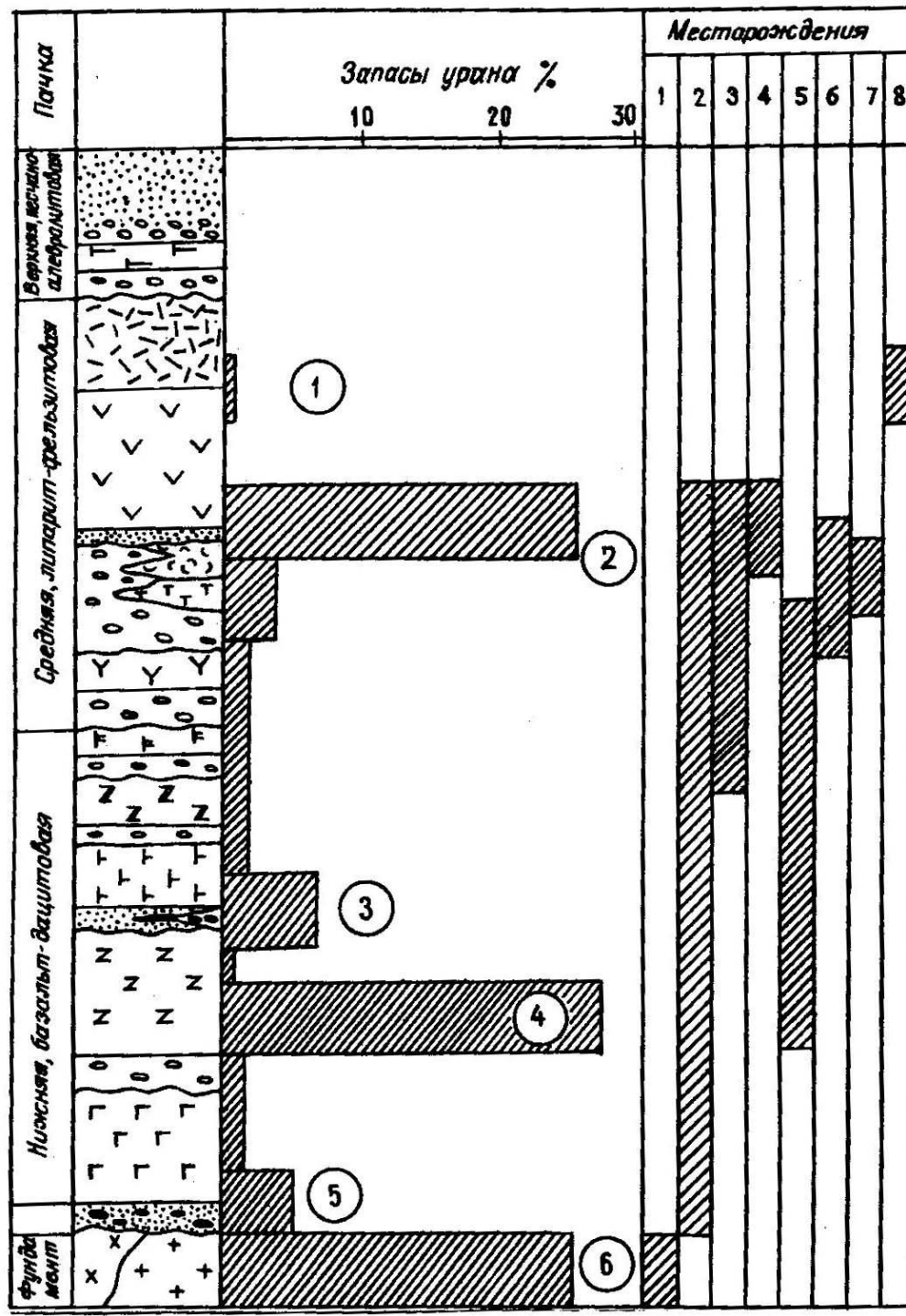
рис. 18 Минерально-сыревая база Забайкалья

Схема
геологического
строения
Стрельцовского
урановорудного
района /Лаверов
и др., 1992/.



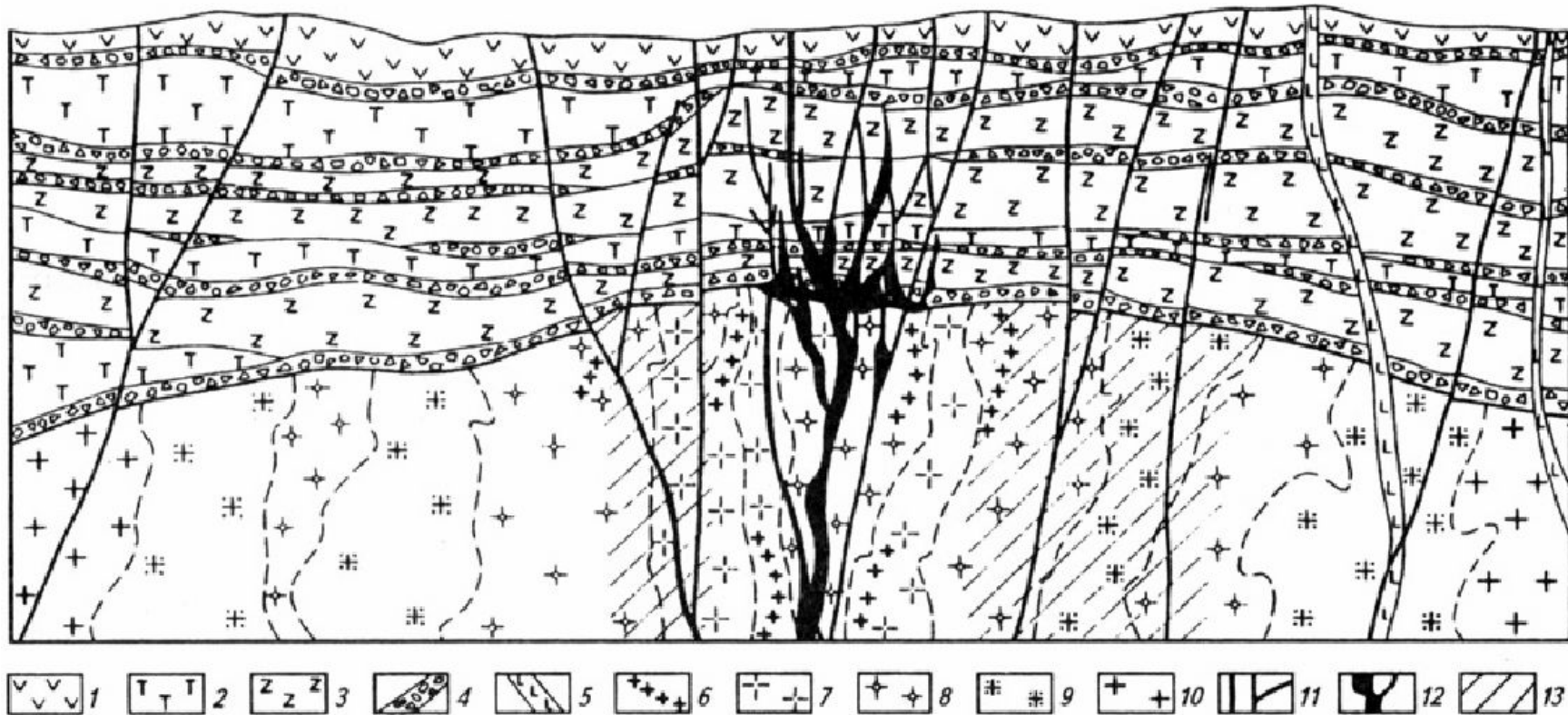
Локализация урановых месторождений в Стрельцовской кальдере /Лаверов и др., 1992/.

1 – платформенный комплекс (К₁); 2–3 – орогенный комплекс (J₃); 2 – верхний подкомплекс (липариты, игнимбриты, туфы, песчаники), 3 – нижний подкомплекс (песчаники, дациты, туфы, андезиты, базальты, конгломераты); 4–5 – доорогенные комплексы: 4 – граниты (PZ), 5 – метаморфиты (PR); 6 – разломы; 7 – урановые месторождения: 1 – Стрельцовское, 2 – Широндукуюевское, 3 – Тулукуюевское, 4 – Юбилейное, 5 – Весеннее, 6 – Новогоднее, 7 – Дальнее; 8 – участок развития иттрий-редкоземельной минерализации.



Рудоносные стратиграфические уровни Стрельцовского рудного поля.
[Ищукова и др., 2005].
Цифры в кружках - номера уровней.
Месторождения:
1 - Антей, Аргунское;
2 - Стрельцовское;
3 - Тулкуевское,
4 - Красный Камень;
5 - Октябрьское, Лучистое,
Широндукуйское,
6 - Новогоднее, Юбилейное;
7 - Дальнее;
8 - Безречное.

Геологический разрез Стрельцовской кальдеры /по Модникову/

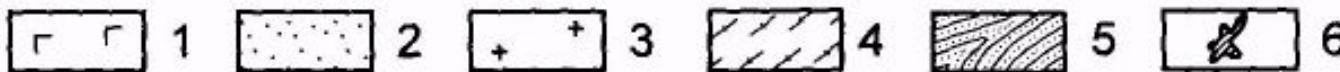


Геологический разрез Стрельцовской депрессии (по И.В.Модникову, /Бойцов и др.,1999/).

1 – фельзиты; 2 – андезито-базальты; 3 – трахидациты; 4 – конгломераты, гравелиты, песчаники; 5 – дайки основного состава; 6-10 – гранитоиды: 6 – аплитовидные, 7 – пегматоидные, 8 – лейкократовые, 9 – биотитовые, 10 – гранитогнейсы; 11 – разрывные нарушения; 12 – рудные тела; 13 – области пониженных содержаний урана.

**Хиагдинское
рудное поле.
Геолого-
структурный
план. По
данным
Сосновского
ПГО.** [Пятов, 2005].

1 - покровные
четвертичные
базальты;
2 - осадочные
породы,
выполняющие
палеоврезы в
палеозойском
фундаменте;
3-5 - породы
фундамента:
3 - граниты,
4 - гнейсы,
5 - песчаники,
известняки;
6 – проекции на
дневную
поверхность
урановорудных
залежей.

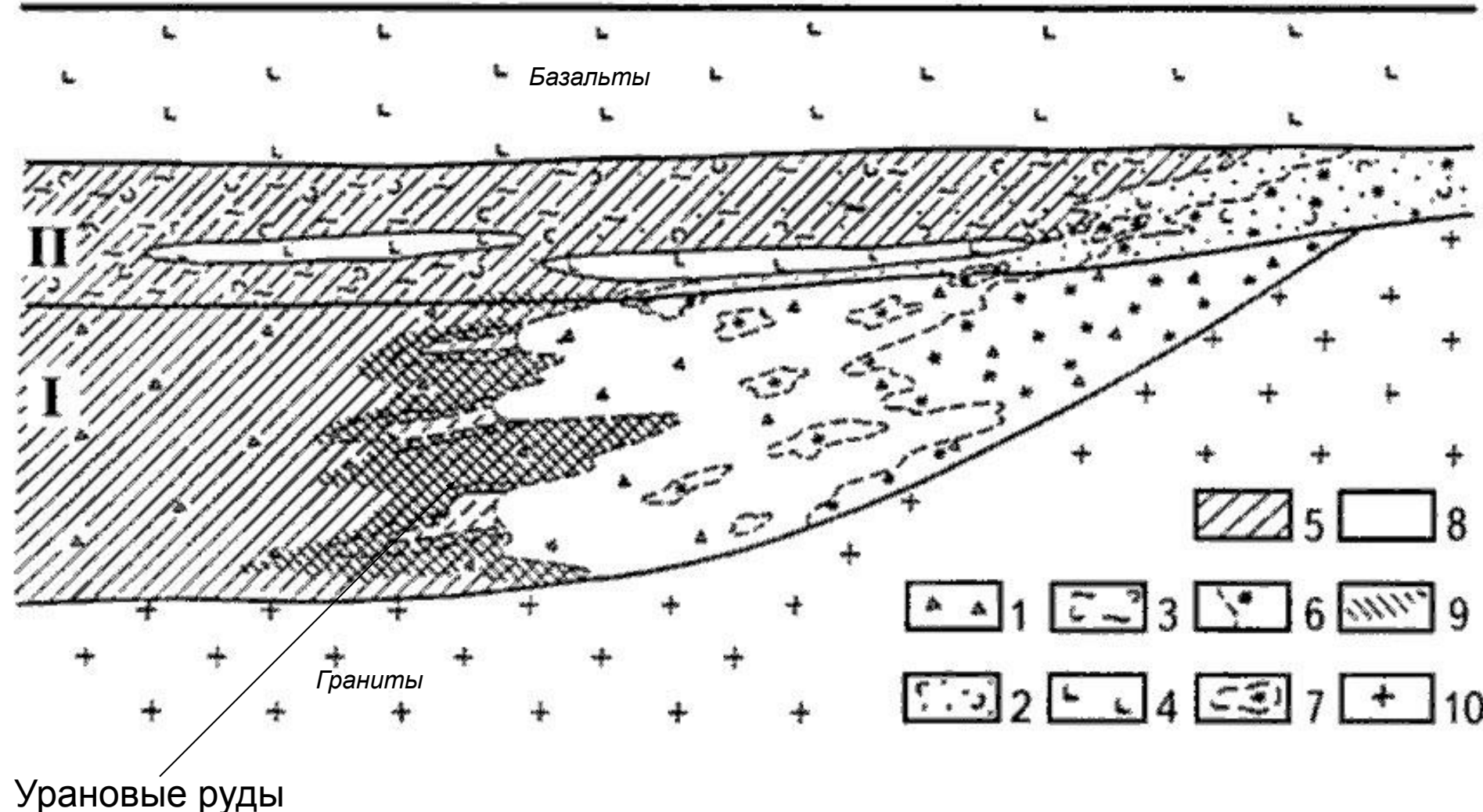


Геолого- структурный план. Хиагдинского м-я

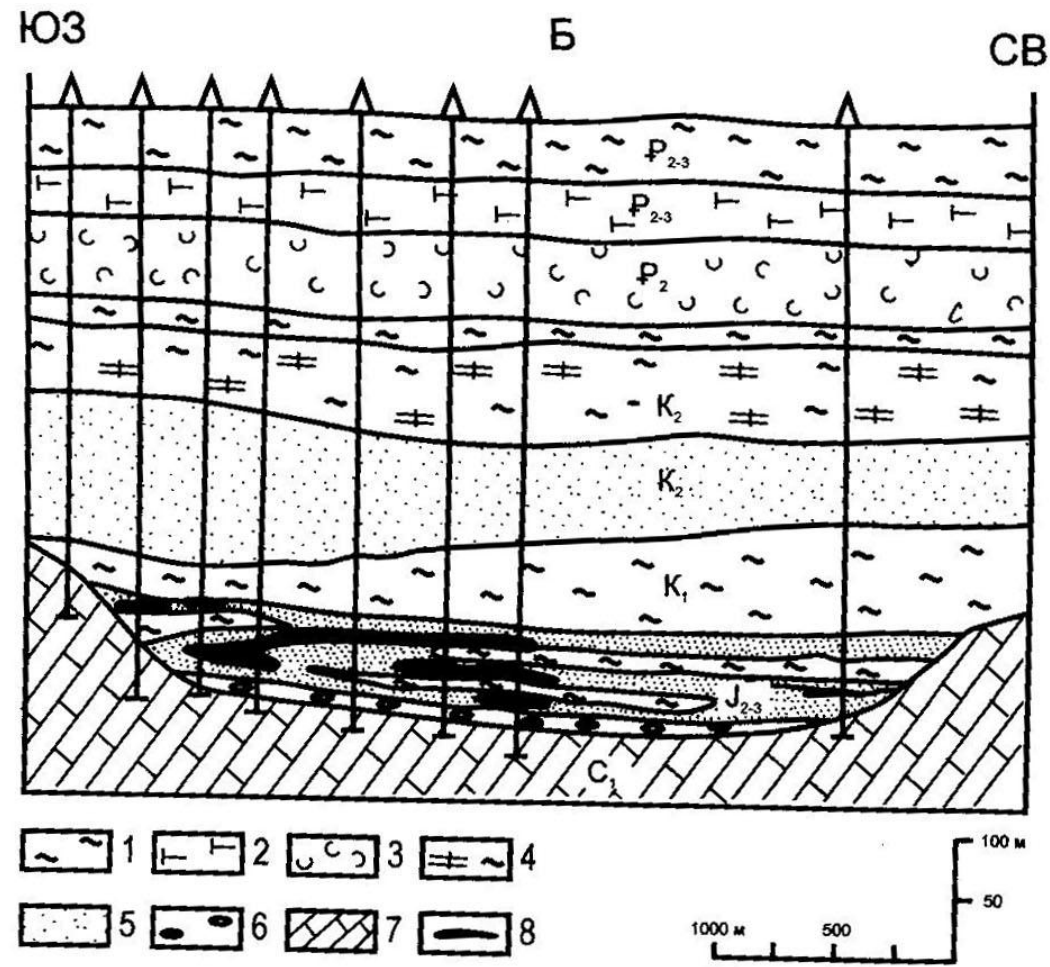
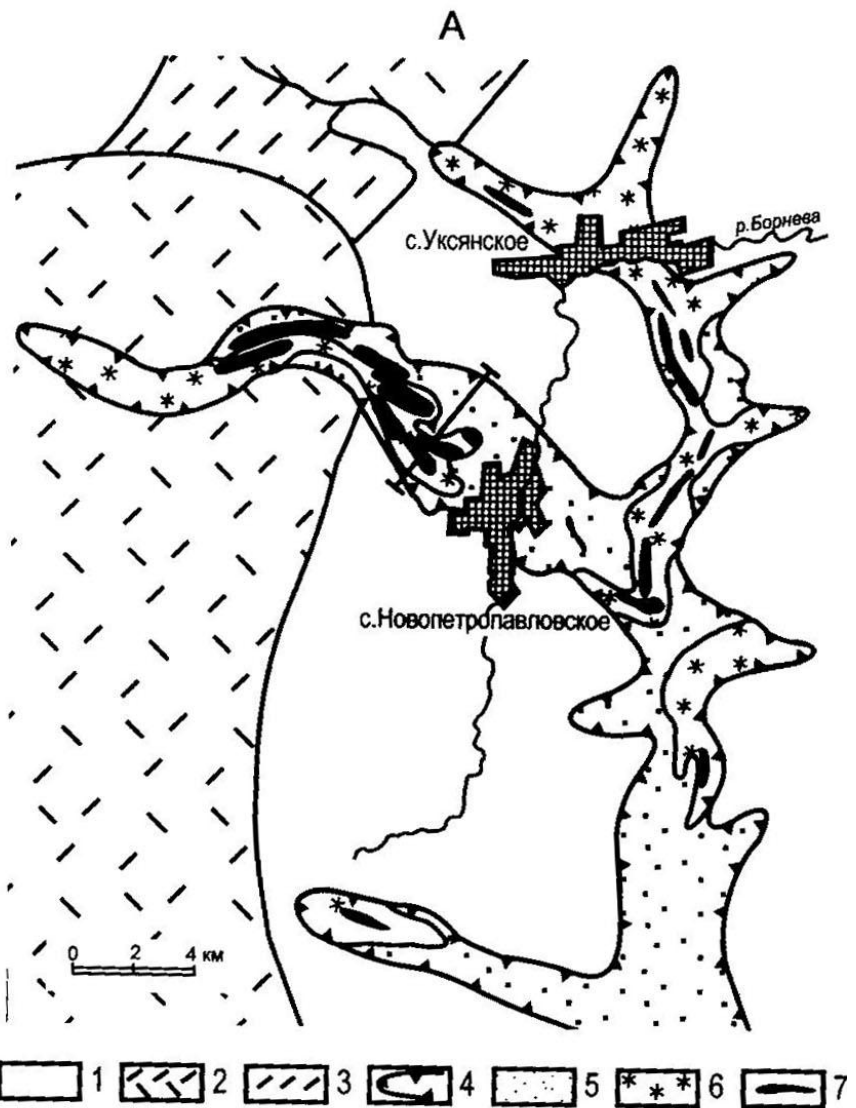
[Пятов, 2005].



Обобщенный продольный геолого-геохимический разрез ураноносной палеодолины восточного Забайкалья /Лучинин и др., 1993/



1 - песчаники и гравелиты основной продуктивной толщи; 2 - туффитовые песчаники; 3 - туффитовые алевролиты и аргиллиты; 4 - базальты; 5 - первично сероцветные породы; 6 - пестроцветно-окисленные породы; 7 - реликтовые участки пестроцветно-окисленных пород; 8 - обеленные породы; 9 - урановое оруднение; 10 – палеозойские граниты основания. I и II – эрозионно-аккумулятивные циклы.

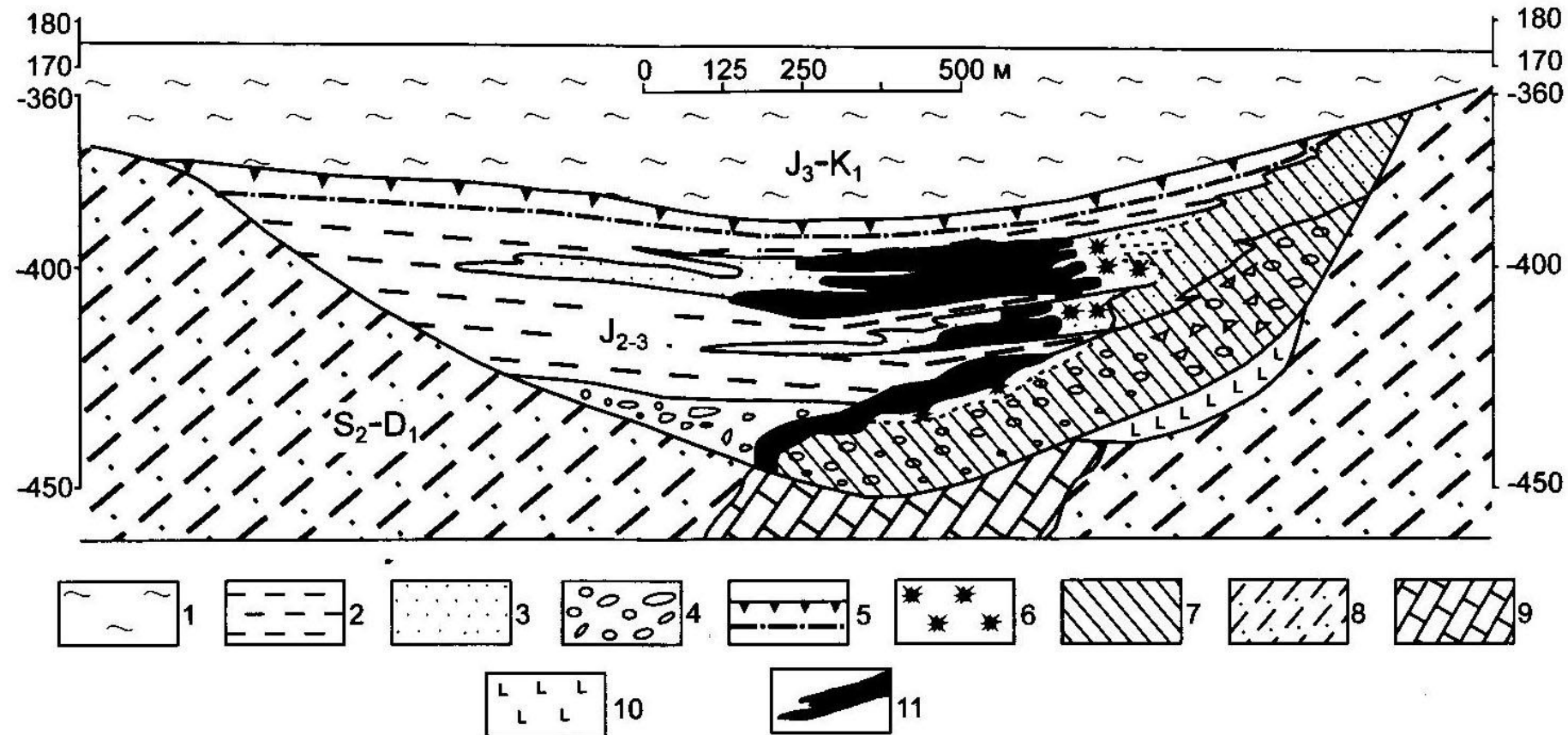


Месторождение Далматовское. А - Геологический план, Б - геологический разрез по линии I - 1. По данным Зеленогорского ПГО. Из [Пятов, 2005].

- А. 1-3 - породы фундамента: 1 - вулканогенно-осадочные, 2-3 - специализированные на уран комплексы: 2 - риолитовые порфириты и их туфы, 3 - углисто-кремнистые сланцы; 4 - границы палеоврэза; 5-6 - аллювиальные отложения, выполняющие палеодолину - гравийники, пески, глины: 5 - первично сероцветные, 6 - эпигенетически окисленные (обелённые); 7 - рудные залежи.
- Б. 1 - глины, алевролиты; 2 - диатомиты; 3 - опоки; 4 - мергели, мергелистые глины; 5 - пески, песчаники; 6 - валунно-галечные отложения; 7 - известняки; 8 - рудные тела.

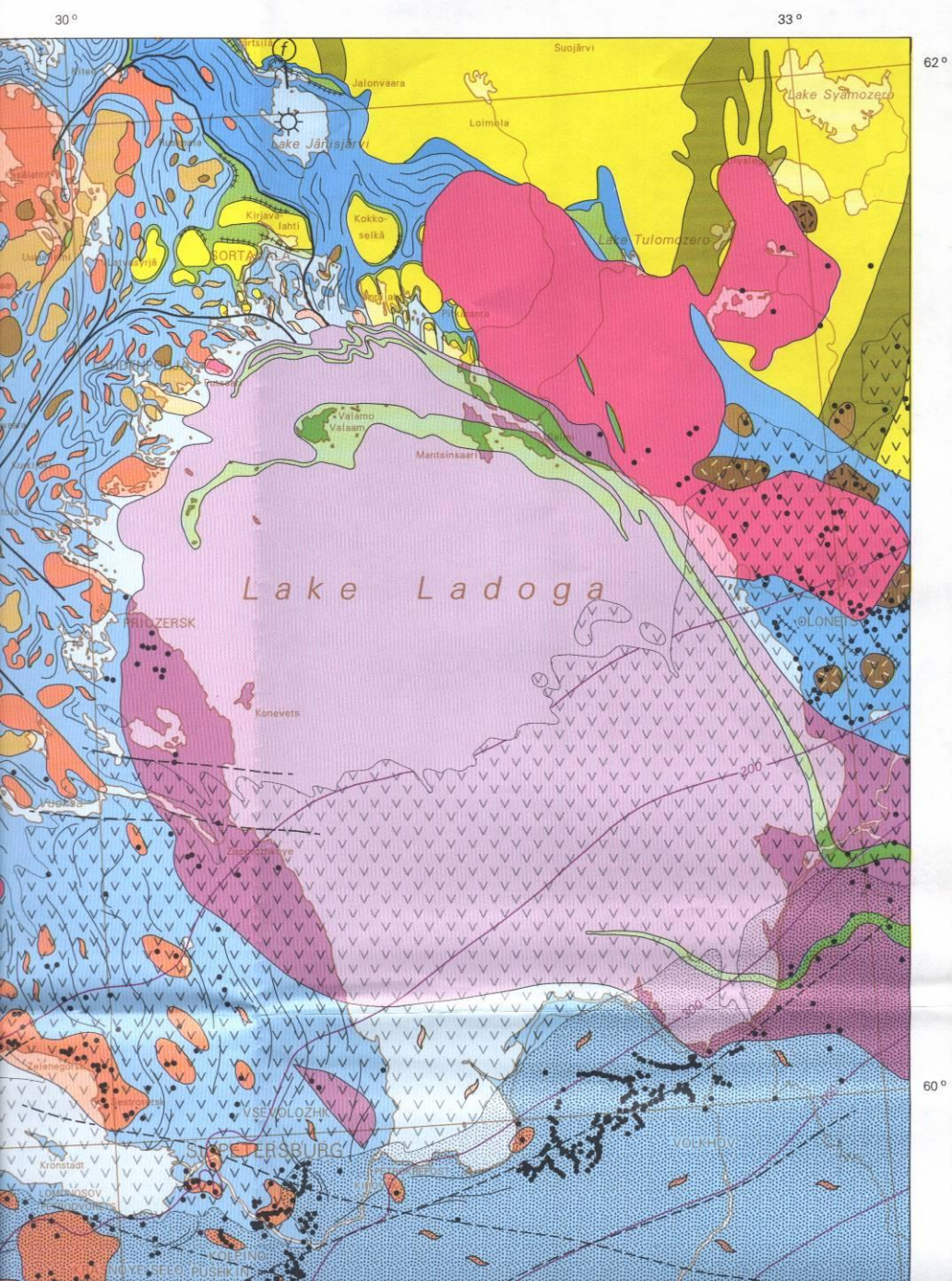
С3

ЮВ



Месторождение Хохловское. Схематический геологический разрез. По данным Зеленогорского ПГО.

1 - озёрно-делювиальные первично-красноцветные отложения; 2-4 - аллювиальные первично сероцветные отложения: 2 - пойменные и озёрно-болотные глины, 3 - пески и алевропесчаники прирусловой отмели, 4 - стрежневые песчано-гравийно-галечные отложения; 5 - зона приповерхностного грунтового окисления; 6-7 - рудоконтролирующая зона пластово-грунтового окисления, вторично восстановленная: 6 - светло-серые породы (былая подзона частичного окисления), 7 - белесые породы (былая подзона полного окисления); 8-10 - породы фундамента: 8 - сланцы, песчаники, аргиллиты, 9 - известняки; 10 - базальты; 11 - урановорудные залежи с бортом 0,01% урана.



Фрагмент геологической карты 1:1 млн докембрийского фундамента Финского залива /Койстинен, 2002/

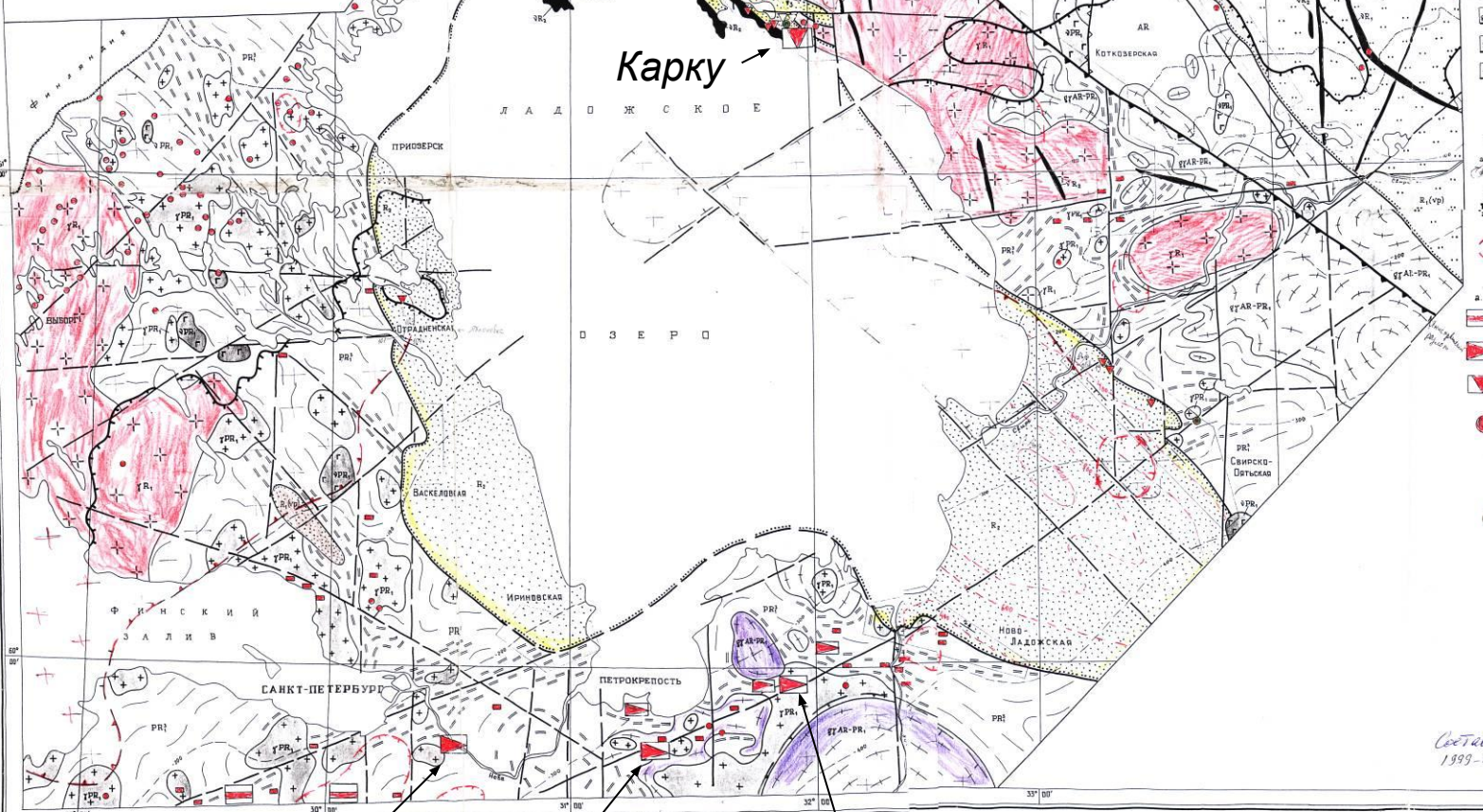
LEGEND		
Phanerozoic	570 Ma Vendian 650 Ma	Sedimentary cover Sedimentary cover Depth of pre-Vendian peneplain below sea level
Neo- proterozoic	1000 Ma Postjotnian - Jotnian	Diabase and mafic volcanic rocks Sandstone, siltstone and claystone
Meso- proterozoic (Riphean)	Subjotnian - Hoglandian	Felsic dykes and volcanic rocks Rapakivi granite Diabase Anorthosite and gabbro
1700 Ma		Postorogenic plutonic rocks Granite Dominantly intermediate plutonic rocks - as neosome in migmatite Feldspar phenocrysts Mafic plutonic rocks Mica schist and mica gneiss - as paleosome or intercalations Graphitic schist Iron formation
Paleo- proterozoic	Svecokarelian etc.	Felsic metasediments and metavolcanic rocks - as paleosome or intercalations Mafic and intermediate metavolcanic rocks - as paleosome or intercalations Phyllites and schists Quartzite and dolomite
2500 Ma	Archaeon Presveco- karelian	Granitoids and migmatites Greenstone
Phanerozoic		Fault
Proterozoic		Ductile shear or thrust zone
Precambrian and Phanerozoic		Trace of dominant strike trends
		Impact crater
		Diamond drill hole penetrating into the basement

**СХЕМАТИЧЕСКАЯ
ГЕОЛОГИЧЕСКАЯ КАРТА
ПАШКО - ЛАДОЖСКОГО
РИФЕЙСКОГО ПРОГИБА
С ДАННЫМИ УРАНОНОСНОСТИ**

масштаб 1 : 500000

1999г.

Поликарпов В.И., Пичугин В.А.



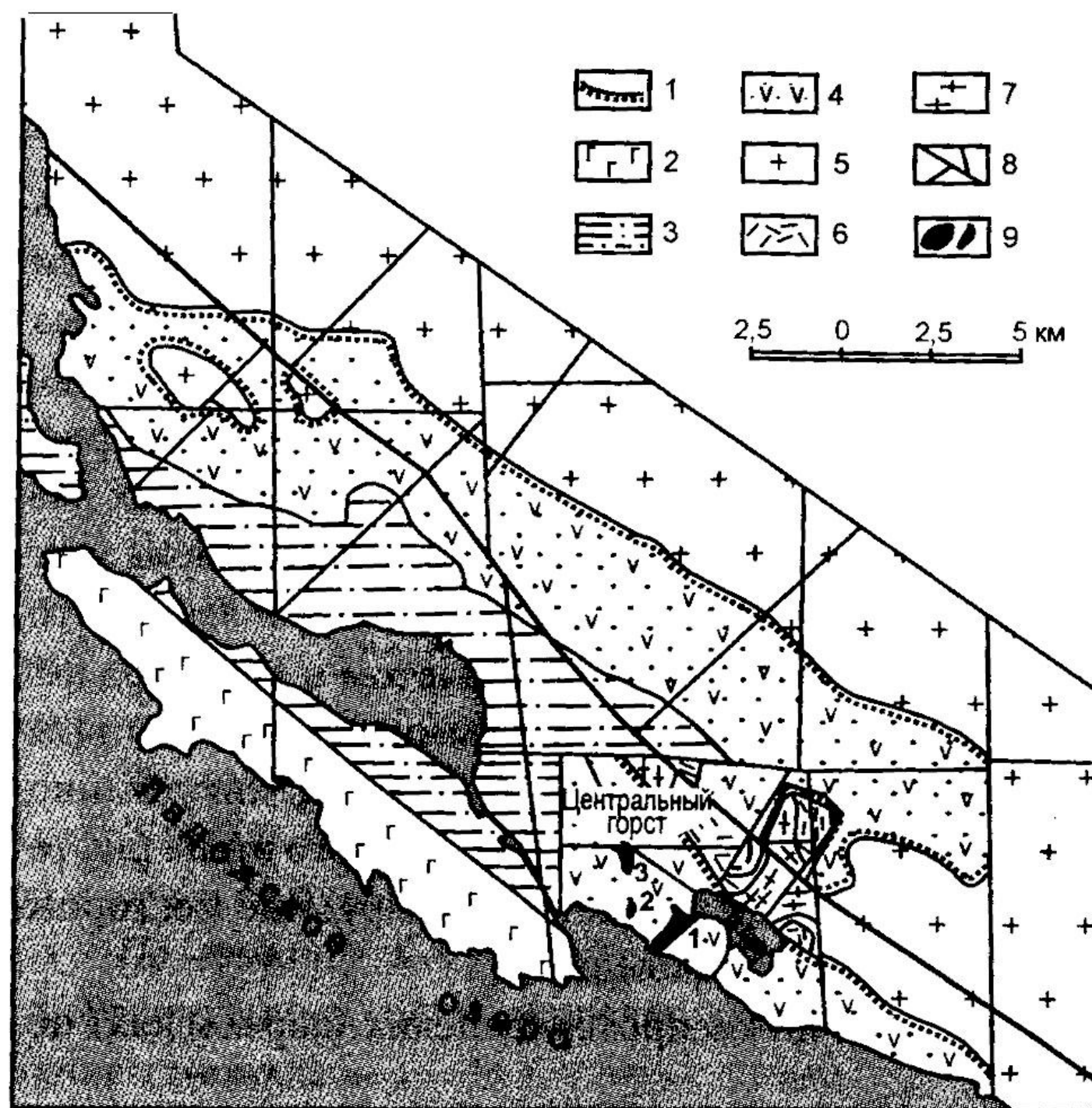
Славянка Рябиновское Ратницкое

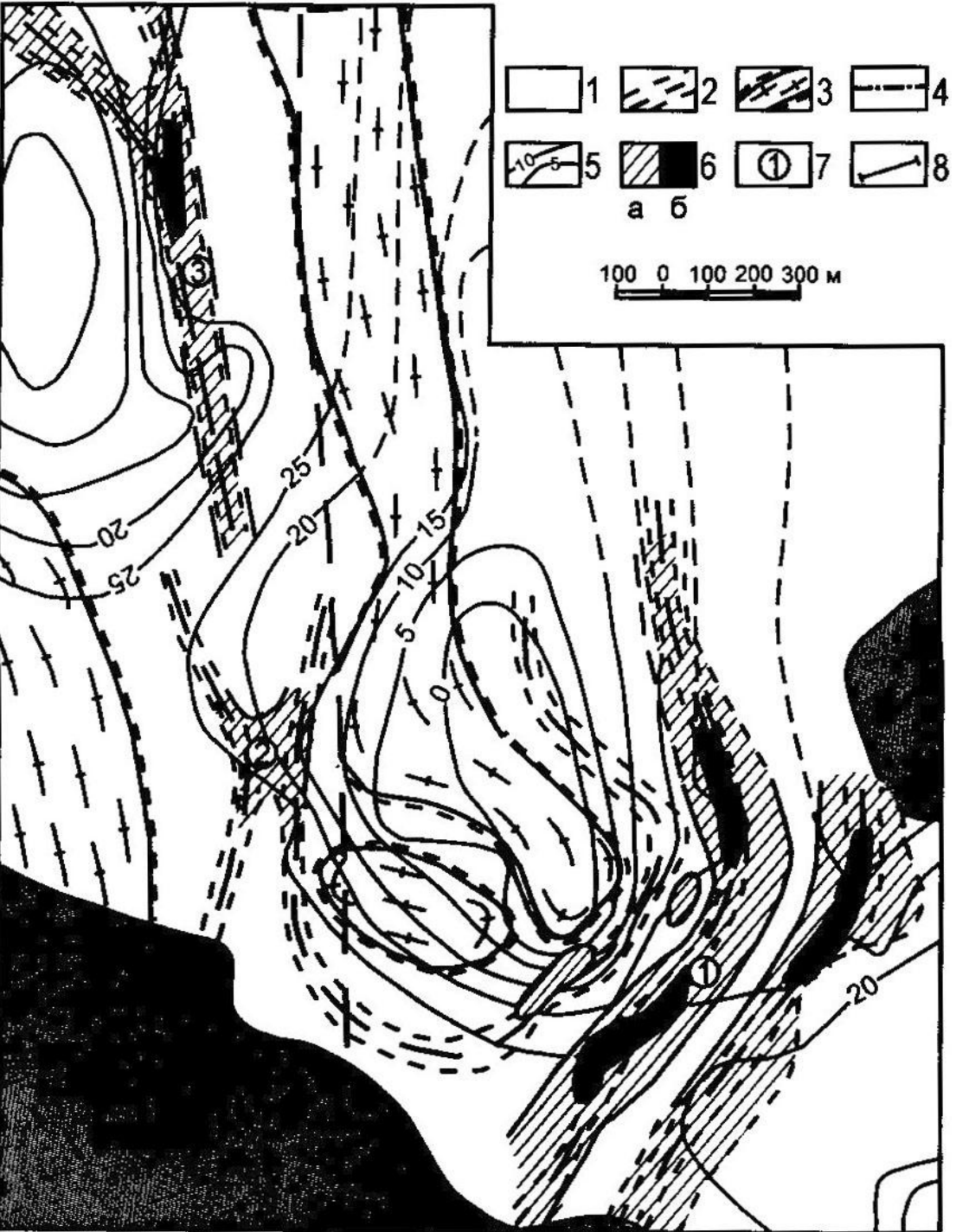
УСЛОВНЫЕ ОБОЗНАЧЕНИЯ	
R ₂	Граниты венч-паморского падающе-направленного чехла
Следний рифей. Песчаники, конгломераты, аргиллиты, базальты	
R ₁ ***	Нижний рифей-венд. Конгломераты, квазициты, песчаники, глинистые сланцы
PRI	Калевий-ладожский. Алевролиты, глинистые и шунгитовые сланцы, доломиты, дакиты, кварциты, гранитоизвестняк, гранититы, биотит-амфиболовые, глиноzemистые, гранитогнейсы, гнейсы и сланцы, амфиболиты, мрамора, скварзы (B)
PRI ₁	Стулии, конгломераты, кварциты, песчаники, глинистые сланцы, доломиты, дакиты, дайки
PRI ₂	Сармийки. Пламмитовые и гранитные конгломераты
AR	Ахей. Гнейсы, гранитогнейсы, кристаллические сланцы, амфиболовые, мигматиты перекристаллизации
Магматический комплекс эпохи рифейской активизации	
VR ₁	Суукчакийские интрузии, симы, дайки габбро, диабазов, базальтов, андезитов, сиенитов
Границы рапакиви и связанные с ними монцониты, амортозиты, габбро-нориты	
VR ₂	Позднебарийские-ранне-сторозовские гранито-гнейсовые куполы
Границы падающих интрузий	
Участки распространения графитодержащих гнейсов и сланцев	
Границы залегания пород	
Поверхности структурно-стратиграфических неограниц	
Границы предвендской (a) и предрифейской (b) поверхности	
Главные разрывные нарушения:	
а - разделывающие Суукчакийский и Карело-Кольский геоблоки; б - межвендовые, в - прочие	
Области глубинного разуплотнения земной коры:	
Урановые месторождения (a), рудопроявления (b), проявления минерализации и аномалии (в)	
a, b	СИНГЕНЕТИЧЕСКИЕ в диктических сланцах ордовика
Синегнейсовые в диктических сланцах ордовика	
Синегнейсовые в базальтах венч-паморского типа в базальтах верхнего века	
Типы неорганической венч-паморской поверхности	
Гидротермально-метасоматические залежи	
Изометрический этап свекофенового прогиба	
Орудеи урана по данным спровоцированной стоки малых рек и рыхлых отложений	
Радиогидротермальные аномалии	
Месторождения (a) и рудопроявления (б) полиметаллических и олово-полиметаллических минерализаций	

Составил Поликарпов В.И., Рябинов В.А.
1999-2000 г.

Салминская мульда. Геолого- структурная схема. По материалам ПГО «Невскгеология».

1 - зона предрифейского структурно-стратиграфического несогласия; 2-4 - рифейский вулканогенно-осадочный комплекс: 2 - габбро-диориты валаамского комплекса, 3 - пашская свита: песчаники, алевролиты, аргиллиты, 4 - приозёрская и салминская свиты нерасчленённые: конгломераты, гравелиты, песчаники, порфириты, туфолавы; 5 - граниты рапакиви; 6 - импилахтинская и питкярантская свиты нижнего протерозоя: графитсодержащие гнейсы и сланцы, мигматиты, амфиболиты; 7 - архейские гнейсо-граниты, мигматиты, амфиболиты; 8 - разломы; 9 - рудные зоны месторождения Карку и их номера.





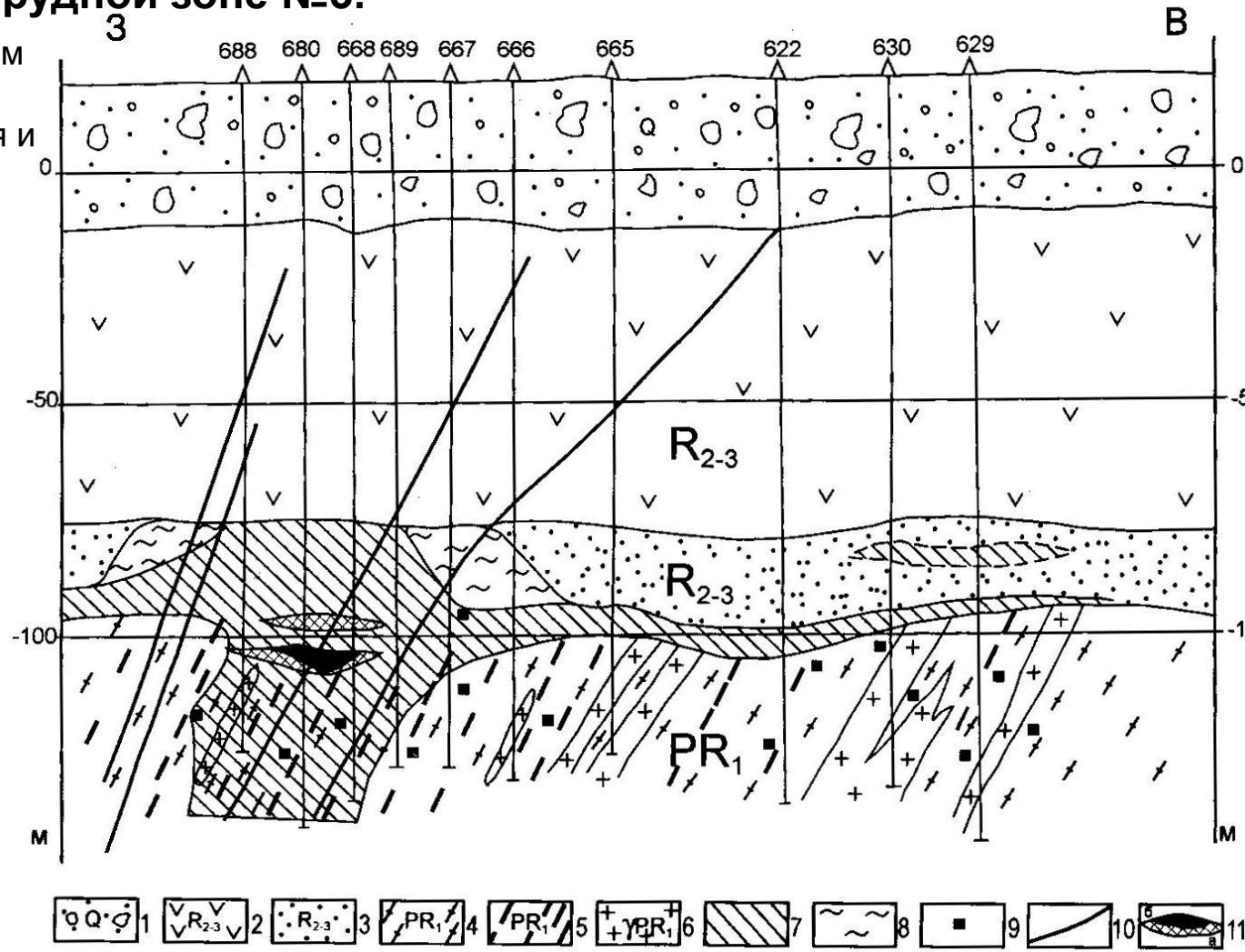
Месторождение Карку. Схематическая геологическая карта. По материалам Невского ПГО

1-3 - породы дорифейского фундамента: 1 - гнейсы, сланцы, амфиболиты импилахтинской и питкярантской свит (PR,), 2 - графитсодержащие гнейсы и сланцы (PR,), 3 - гранито-гнейсовые купола (AR); 4 - разрывное нарушение; 5 - изопахиты терригенных отложений нижней подсвиты приозёрской свиты (R); 6 - рудные залежи с содержанием урана более 0,03% (а) и более 0,3% (б); 7 - номера рудных зон; 8 - линия геологического разреза.

Месторождение Карку.

Разрез по рудной зоне №3.

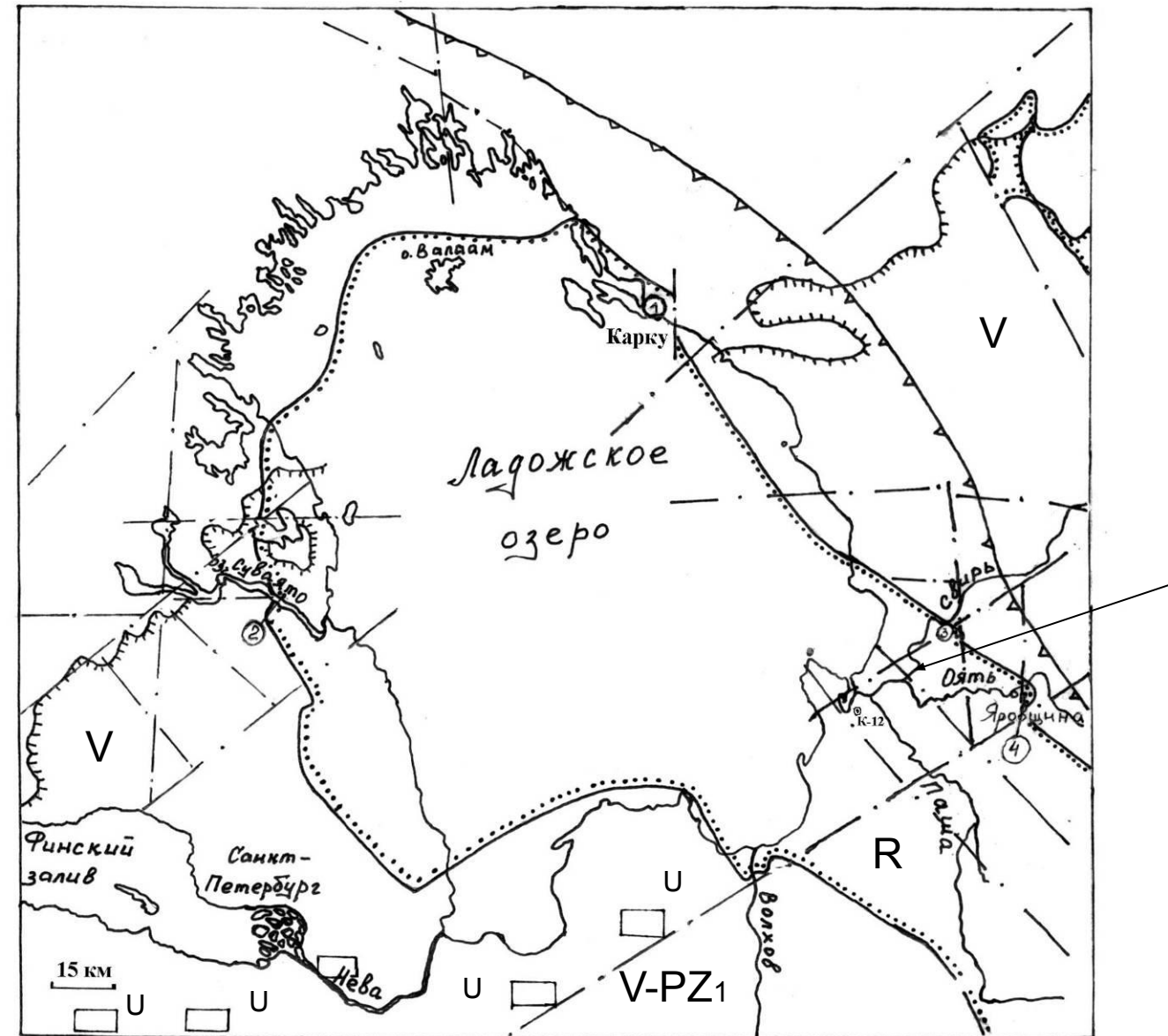
0 20 40 60 м



По материалам ПГО «Невскгеология» и ВИМС. 1 - четвертичные отложения - валунная морена; 2-3 - приозёрская свита (R): 2 - базальты, туфолавы, 3 - песчаники, гравелиты, конгломераты; 4-6 - нижнепротерозойские образования: 4 - гнейсы и сланцы, 5 - графитсодержащие сланцы, 6 - пегматоидные граниты; 7-9 - метасоматиты: 7 - сульфидно-хлорит-карбонатные, 8 - глинисто-гидрослюдистые с коффинитом, 9 - прожилково-вкрапленная сульфидная минерализация в породах фундамента; 10 - разломы; 11 - контуры настуранных руд: а - бедных и рядовых (0,03-0,3%) и б - богатых (более 0,3%).

**Геолого-
структурная схема
Ладожского района**
(По Пичугину,
Поликарпову)

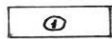
Центр
перспективной
площади



**Условные
обозначения**

- [diagonal dashed line] граница рифеля Ладожско - Ладожского прогиба
- [wavy line] граница венда
- [dash-dot line] крупные разломы

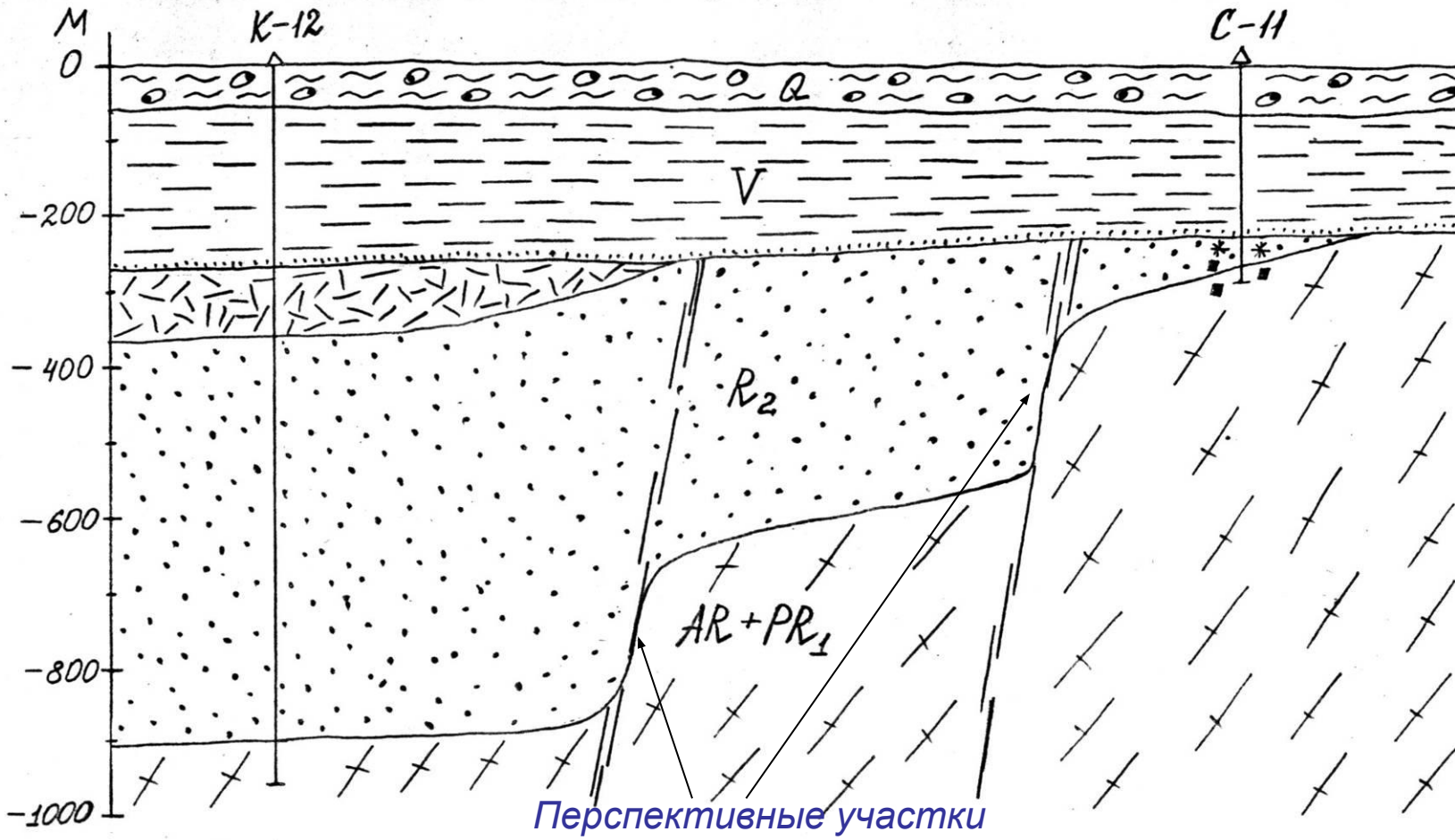
- [diagonal line with arrows] Янисарвенский глубинный разлом



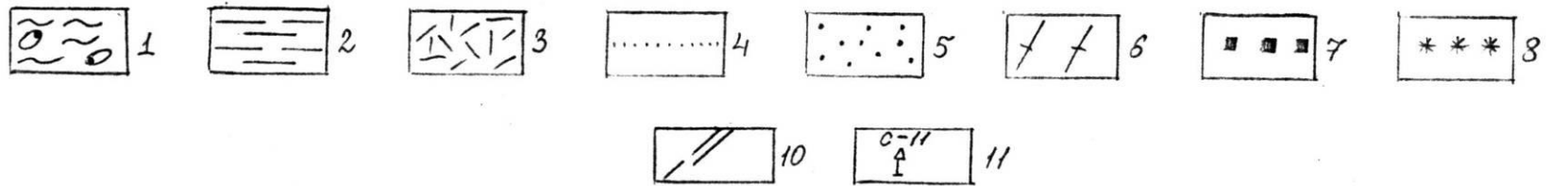
- Участки бурения:
- 1 - месторождения Карку
- 2 - Приозерский
- 3 - Свирско - Ойтъский
- 4 - Яровицна

3

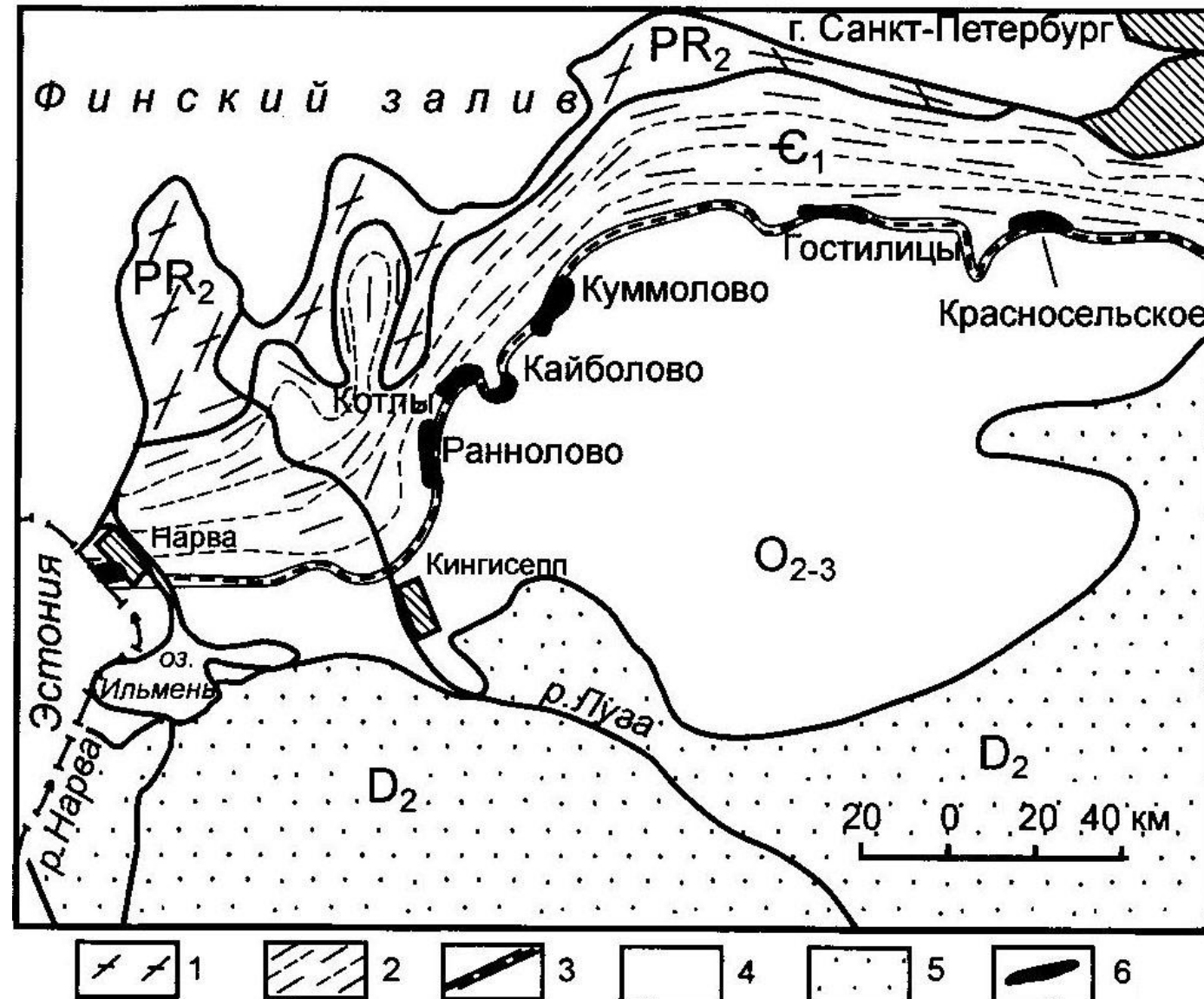
Масштабы вертикальный 1:10000
горизонтальный 1:200000



Геологический разрез Свирица-Пашской вулкано-тектонической депрессии



Геологическая карта Прибалтийского ураноносного района. По данным ВИМСа, из [Пятое, 2005]



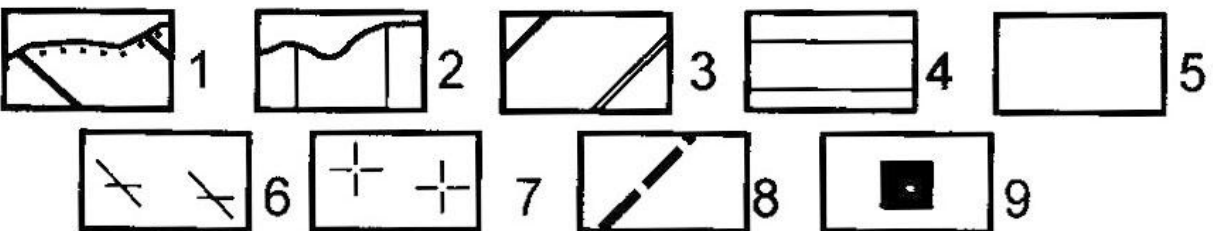
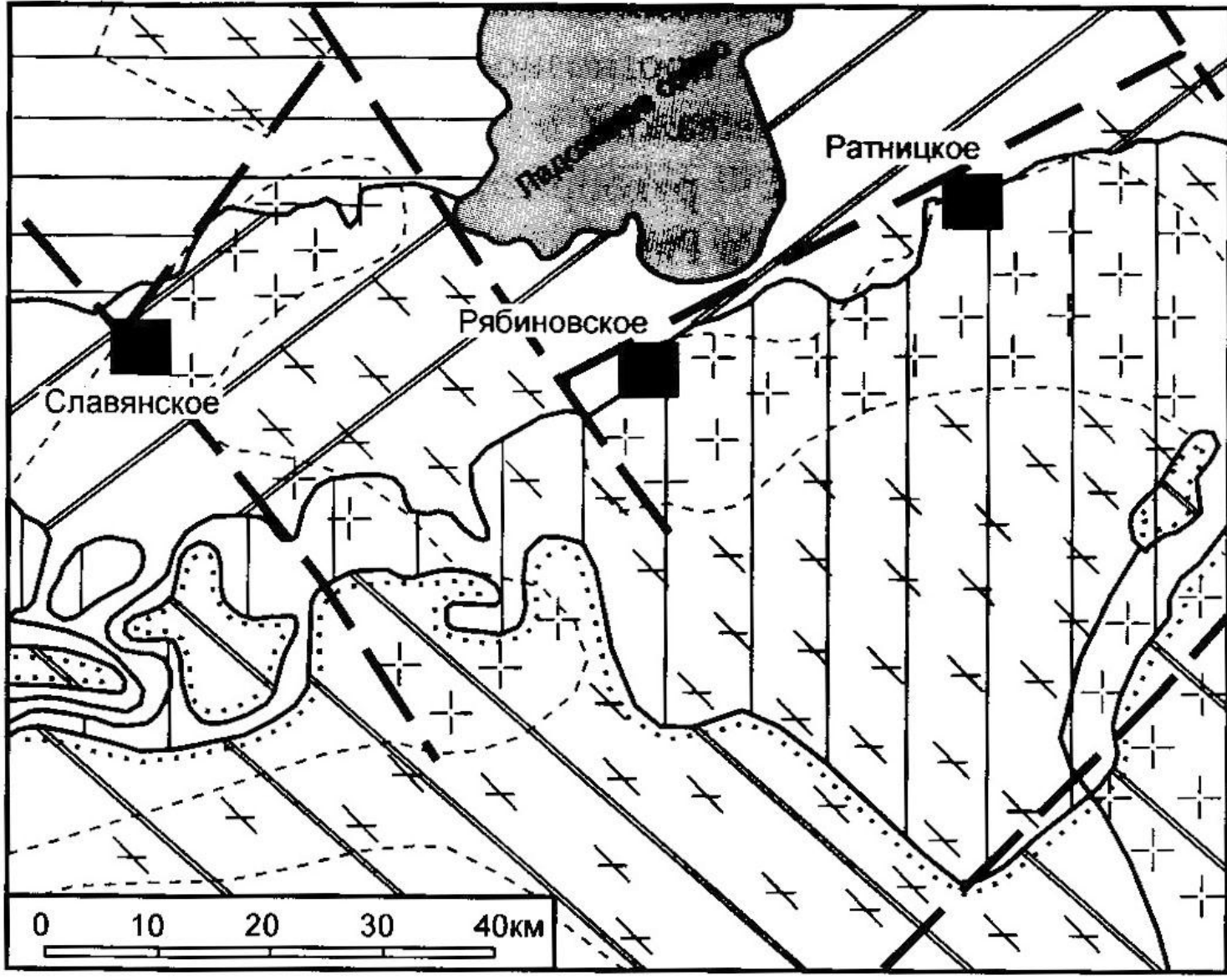
1 - алевролиты, песчаники, конгломераты (PR₂); 2 - глины, алевролиты, песчаники (€₁); 3 - диктионемовые сланцы (O₂); 4 - известняки, доломиты, мергели (O₂₃); 5 - песчаники, глины, доломиты (D₂)

Геологическая карта Невско-Волховского рудоносного района.

По материалам ПГО

«Невскгеология».

1-4 - осадочные образования венду-фанерозойского платформенного чехла: 1 - девонские, 2 - ордовикские, 3 - кембрийские, 4 - вендинские; 5-8 - комплексы довенского фундамента: 5 - метаосадочные породы, 6 - гранитогнейсы, 7 - граниты, 8 - разломы; 9 - месторождения урана.

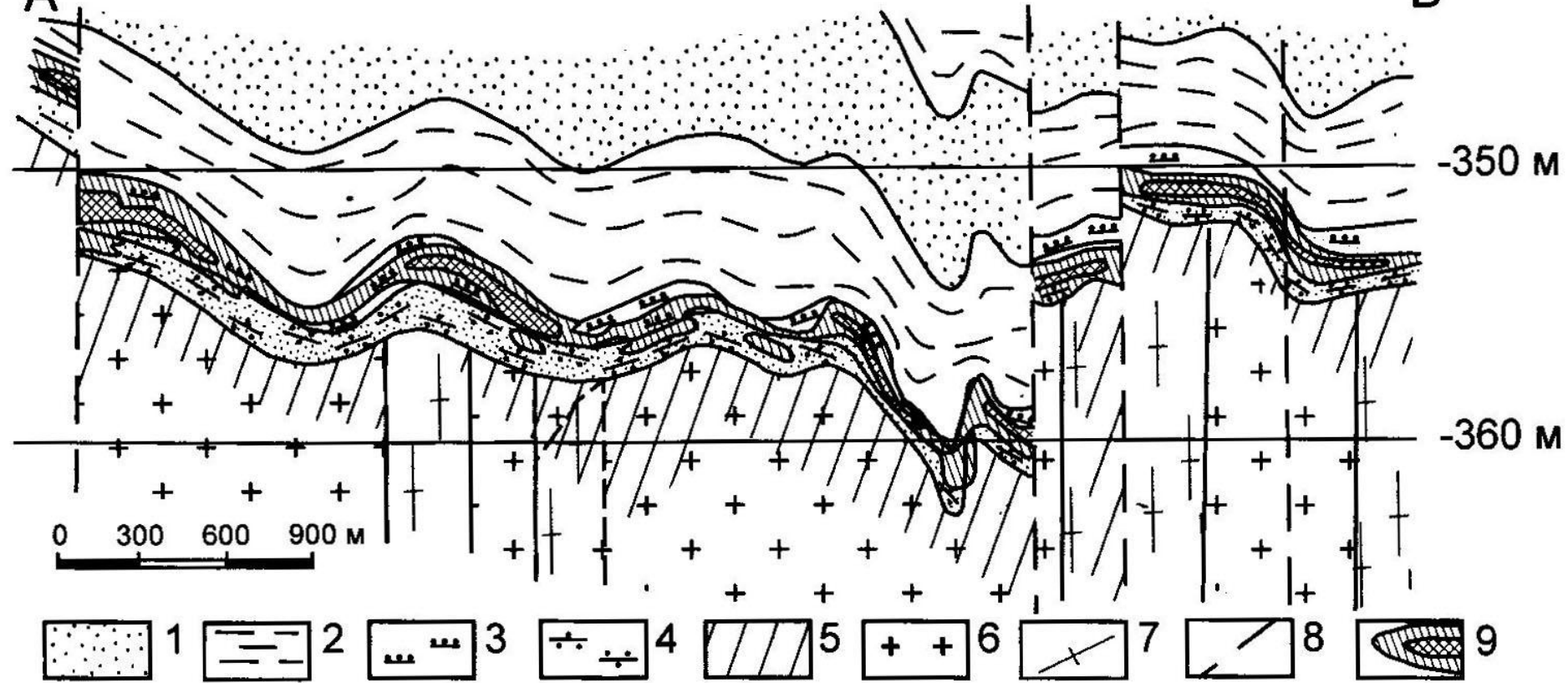


С

Ю

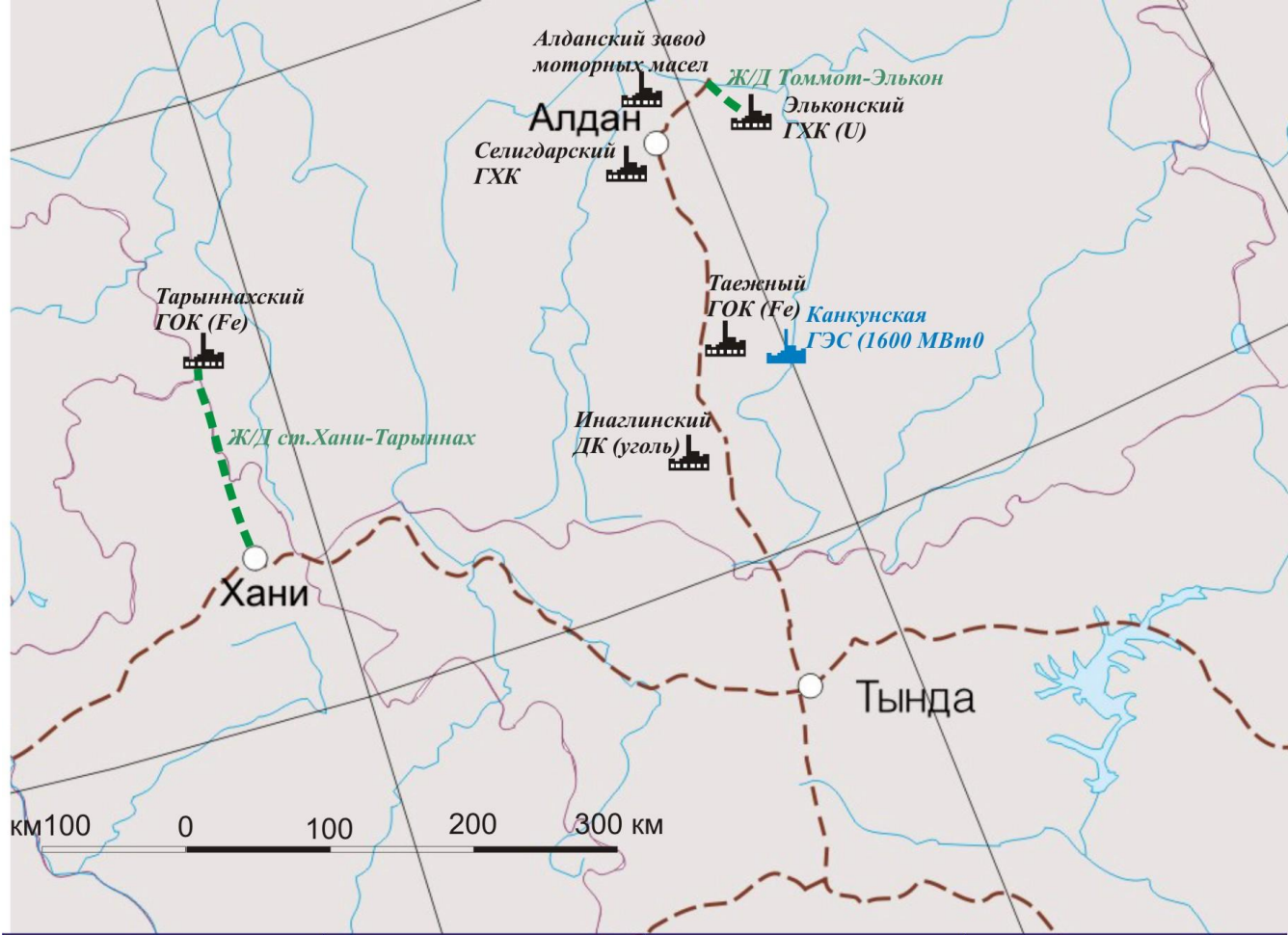
А

Б



Геологический разрез месторождения Рябиновское. По материалам ПГО «Невскгеология».

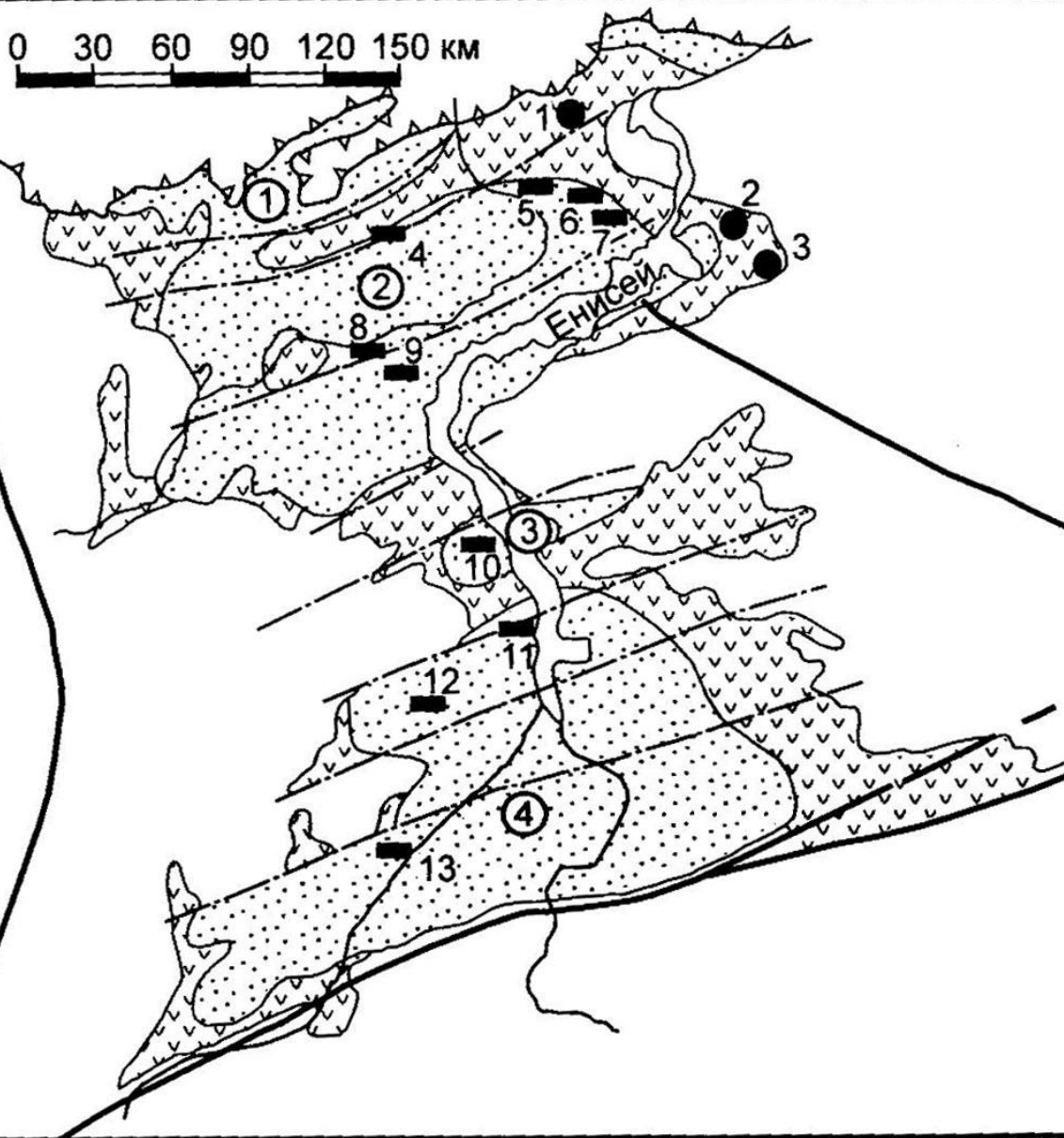
1-4 - осадочные отложения венда: 1 - песчаники, 2 - глины, 3 - пачка переслаивания песчаников и глин, 4 - песчаники с линзами глин; 5-7 - породы фундамента: 5 - коры выветривания пород фундамента, 6 - граниты, 7 - мигматизированные графитсодержащие биотитовые гнейсы и сланцы; 8 - разломы; 9 - рудные зоны с содержаниями урана 0,01-0,03% и более 0,03%.



	Ресурсный потенциал	Срок эксплуатации	Ежегодный уровень добычи
Железные руды Коксующийся уголь Уран	6 млрд. т 1,5 млрд. т 370 тыс. т	100 лет 100 лет 40 лет	7 млн. т 3 млн. т 5 тыс. т

рис. 21 Ресурсный потенциал и основные промышленные объекты проекта “Комплексное развитие Южной Якутии”

0 30 60 90 120 150 км



**Тектоническая схема
Минусинских впадин.**
По В.Е.Кудрявцеву [1979].
1 - среднепалеозойские впадины:
Назаровская (1), Северо-
Минусинская (2), Сыдо-Ербинская
(3), Южно-Минусинская (4); 2 -
вулканогенные формации
Минусинского вулканического
пояса; 3 - додевонский складчатый
пояс; 4 - межблоковые глубинные
разломы; 5 - тектонические огра-
ничения поперечных блоков; 6 -
южная граница Западно-
Сибирской плиты; 7-8 -
месторождения урана: 7 -
гидротермальные (1 - Кемчуг, 2 -
Рассохинское, 3 - Солонечное), 8 -
стратиформные (4 -
Кызынджульское, 5 - Сырское, 6 -
Тумнинское, 7 - Юрганское, 8 -
Большой Сабигур, 9 -
Монастыревское, 10 - Приморское,
11 - Оглахтинское, 12 - Чалгыз-
Хыр, 13 - Тигир-Тайшенское.